

МИНИСТЕРСТВО ГЕОЛОГИИ СССР  
ДАЛЬНЕВОСТОЧНОЕ ГЕОЛОГИЧЕСКОЕ УПРАВЛЕНИЕ

Экз. № 150

# ГЕОЛОГИЧЕСКАЯ

## КАРТА СССР

Масштаба 1:200 000

Серия Хингано-Буреинская

Лист М-52-ХХIX

Объяснительная записка

Составитель А. П. Сорокин  
Редактор Е. К. Даурко

Утверждено Научно-редакционным советом ВСЕГЕИ  
23 декабря 1965 г., протокол № 57

## ВВЕДЕНИЕ

Территория листа М-52-ХХIX расположена в бассейне среднего течения р. Амура. С запада и востока она ограничена координатами: 130°00'—131°00' в. д. и 43°20' с. ш., а с юга Амуром, по которому проходит государственная граница СССР и КНР. По административному делению небольшая юго-восточная часть площади листа входит в состав Облученского района Хабаровского края, остальная — относится к Архиринскому району Амурской области. Западная часть территории представляет юго-восточную окраину обширной Зе-Буреинской равнины, в значительной степени расчлененную и размытую Амуром и его притоками. Это сильно заболоченная местность с абсолютными отметками поверхности в пределах 90—120 м. В среднем течении рек Урила, Мутной, Хинган рельеф становится полого-увалистым с плоскими водоразделами, абсолютные отметки которых не превышают 250—300 м. Восточная часть площади является типичным низкогорьем с абсолютными отметками вершин, не превышающими, как правило, 500—700 м. Здесь проходит осевая линия хребта Малый Хинган. На северо-востоке значительные площади заняты базальтовым плато с абсолютными отметками 450—500 м.

Речная сеть района принадлежит бассейну Амура. От с. Касаткино до с. Пашково Амур течет на юго-восток в широкой долине с многочисленными островами и протоками. Ширина его русла здесь 1,5—2 км. Начиная от с. Пашково, река резко поворачивает на юг и течет в узкой (500—700 м) долине, «пролиливая» хребет Малый Хинган. Притоки Амура (Урила, Мутная, Хинган и др.) в верховых являются типичными горными реками, характеризующимися быстрым течением (1—2 м/сек), непостоянством уровня воды, узкими долинами. В среднем и нижнем течении реки приобретают равнинный характер. Долины их становятся широкими, корытообразными, скорость течения уменьшается до 0,7—1,2 м/сек.

Климат района континентальный, несколько смягченный влиянием муссонов. Лето жаркое, дождливое; зима холодная и ветреная. Средняя температура июля +19°C, максимальная +39°C. Наиболее холодный месимлем является январь, когда температура опускается до —41°C. Среднее годовое количество осадков 620 мм, из которых на летний период приходится около 80%. Растительность района богатая и разнообразная. Наряду с северной флорой, представлена преимущественно хвойными — пихтой, елью, лиственицей — произрастают теплолюбивые растения: дикий виноград, лимонник, амурский бархат и др. Долины рек покрыты густыми травянистыми покровами и болотной растительностью. Животный мир обычный для горно-таежных районов и не отличается разнообразием видов.

Обнаженность коренных пород района плохая. Редкие обнажения встречаются по рекам Амуру, Урилу и Эракте, а также в выемках железнодорожного полотна.

Населенные пункты (села Богучан, Рачи, Урил, Кундул, Есауловка и др.) расположены, преимущественно, вдоль железнодорожной магистрали. Довольно обширной является прибрежная часть Амура. Здесь расположены села Касаткино, Салгово, Пашково, Башупурво и др. Население в них объединено в колхозы, культивирующие злаковые и сою.

Основной транспортной магистралью района является Транссибирская железнодорога, пересекающая площадь листа с северо-запада на юго-восток. Шоссейные дороги имеют незначительную протяженность. Они связывают Архару с Касаткино и Пашково с Облучьем. Проселочные дороги, пргодные для автотранспорта в сухое летнее время, соединяют станции Кундуру и Касаткино, пос. Ивановский и ст. Отроги, села Сагибово и Касаткино. Основным видом сообщения между прибрежными селами является р. Амур. Навигация по нему начинается в начале мая и заканчивается в первой половине октября.

Первые сведения о геологии района были получены в середине прошлого столетия Р. К. Макком (1855 г.) и Ф. Б. Шмидтом (1859 г.). Более обстоятельные геологические исследования проводились в связи с подготовкой к строительству Транссибирской железной дороги. С этим периодом совпадает открытие Богучанского флюоритового месторождения (Л. Ф. Башевич, 1894 г.) и первые марширующие исследования в бассейне р. Хингана (Э. Э. Айтер, 1895 г.; Г. К. Яворовский, 1902 г.). В 1912—1915 гг. маршруты вдоль железной дороги провел С. В. Константинов.

Начало новому этапу в геологических исследованиях северо-западных отрогов Малого Хингана было положено в начале тридцатых годов нашего столетия З. А. Абулаева и Н. И. Чернышева. З. А. Абулаевым (1933 г.) впервые были высказаны представления о многофазном излиянии эфузивов, возраст которых им определялся позднемеловым. Н. И. Чернышевым (1935 г.) мезозойские осадочные отложения района были расчленены на толщу песчанников юрского возраста (район с. Пашково) и толщу позднемеловых песчано-глинистых образований (бассейн рек Урила и Мутной). В последующие годы поисково-съемочными работами были окованы значительные площади территории листа. В северо-западной части ее провели исследование М. Н. Добрехотов (1936 г.), в центральной и юго-западной — Р. Ю. Эпштейн (1940 г.) и М. М. Ветчиник (1941 г.).

Важной вехой в изучении геологии района явилась геологическая съемка масштаба 1:1 000 000, проведенная в 1941—1943 гг. С. А. Музалевым на масштабе листа М-52. При этом меловой эфузивный комплекс был им расчленен на две свиты: туфоэфузивную и туфосахнющую, а рыхлые отложения — на дарагинский комплекс (мастрихт — палеоген) и свиту рыхлых песков (неоген). В последующие годы вулканогенные породы Малого Хингана изучал М. И. Иликон (1945 г.). Он расчленил эфузивный комплекс на четыре горизонта, характерной чертой которых является последовательность изменения их состава вверх по разрезу от основных к кислым.

В последнее десятилетие на территории листа проведены различные геофизические исследования: гравиметрические съемки масштаба 1:1 000 000 (В. И. Озередник, 1959 г.) и 1:200 000 (Майнерман, 1962 ф), аэромагнитная съемка масштаба 1:200 000 (Н. М. Иванов, 1953 г.; М. О. Политиков, 1958 г.) и электроразведочные работы масштаба 1:200 000 (Л. В. Голубев, 1962 г.) и 1:50 000 (В. А. Симонова, 1955 г.; А. Г. Павлов, 1957 г.).

В 1957 г. А. П. Глушков составил геологическую карту и карту полезных ископаемых Малого Хингана, а в 1962 г. С. А. Музалевым подготовил к изданию геологическую карту и карту полезных ископаемых листа М-52. Палеомагнитная геологическая съемка масштаба 1:200 000 на территории листа была начата в 1956 г. Е. Б. Краснянской и продолжена в 1958—1959 гг. Ю. А. Нагарновым. Позднее в юго-восточной части листа были проведены поисково-съемочные работы масштаба 1:50 000 под руководством А. В. Паддинга (1963 ф) и С. С. Воскresenskого (1963 ф) и В. Ф. Синникова (1964 ф).

В 1964 г. А. П. Сорокином был просмотрен керн скважин, пробуренных в долине Амура, и повторены сборы растительных остатков на Богучанском флюоритовом месторождении. Для изучения разрезов Зейской серии им пределены маршруты в районе поселков Шатурино и Богучан.

В процессе подготовки геологической карты листа к изданию выяснились некоторые неувязки геологических контуров с изданными геологическими картами с востока (М-52-XXX) и юга (М-52-XXXV). Неувязки с листом М-52-XXX (Золотой, 1959) касаются эфузивного комплекса и гранитоидов.

Описанные М. Г. Золотовым в междууречье Хингана и Сутары породы, как составная часть богучанской свиты, А. В. Палагиным позднее (1962 г.) отнесены к обмангильской свите. Возраст последней А. В. Палагиным считается раннемеловым, на основании определения растительных остатков в туфослюдических породах, перекрывающих свиту. Кроме того, Ю. А. Наварновым (1960 ф) установлено, что в бассейне пади Фелосейхи присутствуют породы как солнечной, так и стоямирской свит. Гранитоиды, непосредственно призывающие к территории восточной рамки листа М-52-XXX, отнесены М. Г. Золотовым к среднему палеозою. В результате более поздних работ (Л. В. Эйриши, 1959 г.) возраст их определен как раннепалеозойский.

Научные геологические контуры с листом М-52-XXXV (Эйриши, 1964) касаются эфузивов и рыхлых стояжей. Первые Л. В. Эйришем сопоставлялись с богучанской свитой, а С. С. Воскресенским, на основании определения споропыльцевых комплексов, к сазанковской и белогорской свитам.

При написании объяснительной записки и составлении карт, автором, кроме перечисленных работ, также использованы материалы М. А. Саканцева (1939 г.), Н. М. Рушковского (1939 г.), Г. И. Ремезова (1940 г.), В. М. Молчанова (1940 г.), М. В. Цветова (1943 г.), Б. П. Кулеша (1947 г.), Н. С. Ильиной (1949 г.), Кириллова (1952 г.), В. Г. Варнавского (1954 г.), В. Г. Рожко (1955 г.), Я. И. Гарлакова (1955 г.), Е. Г. Седельниковой (1955 г.), А. М. Суслова (1961 г.), В. М. Довгалева (1961 г.), Е. Я. Шапошникова (1961 г.), М. М. Колман (1962 г.), И. П. Полова (1964 г.) и др. Ученые также работали по региональной геологии, тектонике, палеозиме, ископаемым (Г. Н. Байковская, 1946—1947, 1956 г.; Е. К. Дацко, 1951 г.; В. В. Оникимовский, 1953 г.; Б. И. Лови, 1955 г.; М. И. Иликон, 1945, 1949, 1949, 1963 г.; Ю. Ф. Чемеков, 1960 г.; В. А. Кашковский, 1962 г.; А. И. Юдин, 1963 г.) и результаты геофизических работ. Тщательно изучены аэрофотоматериалы. Имеющиеся незначительные неувязки с аэрофотоматериалами полной части рассматриваемого листа при геологической съемке масштаба 1:50 000.

## СТРАТИГРАФИЯ

### ПРОТЕРОЗОЙСКАЯ ГРУППА Нижний протерозой

#### Амурская серия

Наиболее древние породы района распространены на двух разобщенных участках. В юго-восточной части листа, на правобережье пади Фелосейхи, по делювиальным обломкам на незначительной площади (около 2 км<sup>2</sup>), закартированы гнейсы и в меньшей мере амфиболиты и кварциты. В северо-западной части территории, в бассейнах рек Грязной, Тарманкуна и Урилья, распространены кристаллические сланцы и реже амфиболиты, амфиболовые и биотитовые гнейсы. Здесь по редким обнажениям установлено, что амфиболиты, амфиболовые и биотитовые гнейсы вверх по разрезу постепенно смешиваются сподиолитами сланцами.

Слабая степень обнаженности и разобщенность площадей распространения этих метаморфических пород не позволила составить их разрезы. Южнее, на соседней листе М-52-XXXV, Л. В. Эйришем (1964) аналогичные породы, изученные достаточно полно, выделены в Амурскую серию, которую он разделил на три свиты: туловихинскую, дичунскую и урильскую.

На территории рассматриваемого листа нам представилось возможным выделить все три свиты Амурской серии: туловихинскую, дичунскую и урильскую.

Возраст амурской серии на Хабаровском стратиграфическом совещании в 1956 г. было признано счищать раннепротерозойским на основании того, что

региональный метаморфизм пород серии ниже такового в архейских породах, М-52-XXX (Золотой, 1959)

Используя материалы Е. Е. Краснянской (1957ф), А. В. Палатина (1953ф) С. С. Воскresенского (1962—1964ф) и В. Ф. Синникова (1964ф), сополецирующие (?) свиту можно условно разделить на две толщи: нижнюю и верхнюю.

## Таблица абсолютного возраста горных пород\*\*

№ п/п	Название горючей	Место взятия** и № образцов	Абсолют- ный воздаст в млн. лет
1	Липарит ( $Cr_2bg$ )	В 2 км севернее пос. Кындур, № 337-а	95
2	Фельзолипарит ( $Cr_1ob$ )	Район пос. Есауловки, № 1165	95
3	Липарит ( $Cr_1ob$ )	Междуречье Удуручукана и Хингана, № 2429	108
4	Липарит ( $Cr_1ob$ ) ( $Cr_1Si^?$ )	Верховье пади Фелосенхи, № 454	98
5	Англезито-дацит	Междуречье Хингана и Удуручукана, № 2444	105
6	Фельзолипарит ( $Cr_1Si^?$ )	Правобережье р. Хинган, № 3080	125
7	Витрофельзолипарит ( $Cr_1Si^?$ )	Правобережье пади Бреенчатой, № 500	119
8	Турф липарита ( $Cr_1Si^?$ )	Район с. Пашково, № 635	122
9	Липарит ( $Cr_1Si^?$ )	Паль Федосеиха, № 34	126
10	Базальт ( $Cr_1Si^?$ )	Район с. Пашково, № 2449	136
11.	Гранит-блюти-рогово-обмаковый ( $gPz_3$ )	Район с. Гармуна, № 25	253

(?) свиты можно условно разделить на две части: нижнюю толщу, представленную преимущественно агломератами и пеплом в виде единичных туфами, а также ксеногранитами. Лавы встречаются в виде единичных прослоев в средних горизонтах толщи. Наиболее полно она изучена в бассейне р. Хингана. На левобережье ее по разрозненным горным выработкам удалось составить схематический разрез нижней толщи. Здесь преобладают крупнообломочные ксенограниты, среди которых различаются агломератовые разности, содержащие 50—80% обломков, размером от 2 до 15 см, глыбовые агломераты, в которых размер обломков достигает 1,5 м и агломерато-песчаные ксенограниты. Кластическая часть ксеногранитов представлена мелкообломочными средневкрапленниками липаритами и редко андезито-дацитами. Альбогранитовые ксенограниты имелиют малошные (0,1—0,5 м) прослои псевдотуфов, геосфо-псаммитовых и алевропелитовых туфов, тяготеющих к верхним частям разреза. Видимая мощность нижней толщи 150 м.

Западнее, в бассейне руч. Первого Кайлашного, разрез нижней толщи несколько иной. При преобладании грубообластических разностей, в верхних частях разреза увеличивается содержание псаммитовых и алевропелитовых туфов, мощность толщи возрастает до 250 м. Аналогичные данные о строении нижней толщи были получены и по наблюдениям вдоль пологих железнодорожных линий, на правобережье р. Хингана. Здесь также преобладают глыбовые породы, на правобережье же ксенограниты, местами прорванные жертовыми телами, сложены липаритами и андезито-дацитами, генетически связанными с солонечной свитой. Состав кластического материала ксеногранитов на этом участке во многом определяется близостью их к жерлам, на контакте с которыми ксенограниты перетекают в обломки этих пород. Верхняя часть разреза нижней толщи на этой площади представлена мелкообломочными разностями туфов и ксеногранитов.

К нижней толще солонечной (?) свиты В. Ф. Синицким (1964ф) отнесены кимбриты из окрестностей с. Панчиково. Они заходят на станционской свите и перекрываются обманянской свитой Ю. А. Навариковым (1959). Эти породы определяются как кристаллокластические туфы липаритов. В. Ф. Синицкий пришел к выводу об их кимбритоподобном характере. К числу типичных внешних признаков этих пород относятся светлые тона окраски, землистый излом, как следствие аргиллизации, неравномерное распределение и осколчатая форма вкрашенников, частое присутствие идиородных включений. Наряду с этими особенностями, характерными для туфов, породы часто обладают флюидальной текстурой и подчеркнуто ориентированным расположением линзовидных включений.

Верхняя толща солонечной (?) свиты представлена фельзолипаритами и липаритами, образующими ограниченные по площади потоки и жирловые гелевые. В бассейне р. Хингана и пади Солони в основании толщи заходят мелковкрапленниковые фельзолипариты (60 м), согласно перекрывающие образования нижней толщи. Стратиграфически выше наблюдаются крупновкрапленниковые липариты (20—60 м). Верхние горизонты толщи сложены вулканического центра, со сменой состава продуктов (от фельзолипаритов до андезито-дацитов); 2) одновременное извержение нескольких вулканов с различным характером: 1) неоднократное возобновление деятельности вулканического центра, со сменой состава продуктов (от фельзолипаритов до андезито-дацитов); 2) одновременное извержение нескольких вулканов с различными продуктами (агматогранитовые ксенограниты, перспаситы однотипных лав с туфами смешанного состава); 3) заместительное снижение интенсивности экспозиционных процессов во времени (тигтение более крупных лавовых потоков

с преобладанием зеленоватых и бурых тонов. Кластический материал (40—80%) представлен обломками кислых и средних эфузивов, сланцев и зернами кварца, калиевого полевого шпата и редко плиооклаза.

Среди туфов выделяются алевритовые и алевролитовые разности. Они представлены чрезвычайно простыми алевритовой и пелитовой структурами и сложены на 60—80% осколками кварца и калиевого полевого шпата.

Игнimbриты представляют собой светло-серые породы, обладающие черными туфами и лав. В основной массе их наблюдаются пепловые частицы, подруженные в криптогеофизитовый материал. Наряду с этим различаются крупные обломки изотропного стекла в форме линз. Кристаллические включения представлены кварцем и калиевым полевым шпатом.

Данные химического анализа и пересчет их по А. Н. Завариному показывают (табл. 2), что породы могут быть охарактеризованы как лейкократовые разности, обогащенные кальцием и фемиическими компонентами ( $Mg$ ,  $Fe$ ,  $Ti$ ,  $Mn$ ) и обогащенные цеолитами за счет калия. Игнimbритовые эфузивы представлены меланократовыми разностями. Андезито-дациты обогащены кальцием и обогащены цеолитами.

Распределение остатков в породах солонечной (?) свиты в пределах листа не обнаружено. Абсолютный возраст пород по пяти пробам составляет 105—126 млн. лет (см. табл. 1). К востоку, в верховых кл. Сорокозого, в туфах солонечной свиты собраны растительные остатки, по заключению И. Н. Среднодольской, нижнемелового облика (Золотов, 1959). На основании этих данных возраст солонечной свиты считается нами нижнемеловым.

Обманский свита (Стюарт) слагает обширное поле в междууречье Хингана и Фелосекхи. Представлена она молчай толщей средней. В крупновкрапленниковых витрофельзолипаритах, фельзолипаритах, липаритах, среди которых, в резко подчиненном количестве, присутствуют туфовые разности.

Ю. А. Наварновым (1960ф) эти эфузивы относились к верхнему мелу (богучанской свите). В результате работ В. Ф. Синникова (1964ф) установлено, что эти эфузивы являются более древними, так как возраст перекрывающих отложений, относившихся Ю. А. Наварновым к паянской свите, по споро-пыльцевым данным, сеноман-сенонским (кундуровская свита).

Установлено к обманской свите отнесены туфоконгломераты, туфогравелиты, туфоглекстники, туффиты и песчаники, слагающие пачку мощностью 30—50 м, закартированную в районе с. Пашково. Структурное положение ее определяется довольно четко. Она залегает на становирской и солонечной свитах и перекрывается кундуровской свитой, что соответствует стратиграфическому положению обманской свиты.

Обманская свита по составу и структурным особенностям пород делятся на две толщи (Синников, 1964ф; Бокчесенский, 1964ф).

Нижняя толща образует два разобщенных покрова. Первый мощностью 200—400 м закартирован в межречьях Хингана-Сололи и Сололи-Фелосекхи, второй — на правобережье р. Хингана, к востоку от пос. Есауловки. Первый покров, площадью 250—300 км<sup>2</sup> сложен сравнительно одиородными лавами (средне- и мелковкрапленниковые фельзо- и витрофельзолипариты), среди которых туфы и ксенотуфы отмечаются в виде маломощных линз, приуроченных к нижним частям разреза. Средневкрапленниковые лавы занимают доминирующее положение на всей площади развития покрова. Исключение составляют краевые части покрова, где при непосредственном налегании их на солонечную (?) свиту опускаемые эфузивы имеют лучший иллюминизм вкрашенников и крупные (до 7—10 мм) вкрашенники анортоклаза. Контакт между свитами пакован на восток-восток под углом 30°.

Второй покров площадью 60—70 км<sup>2</sup>, слагает северо-западное крыло Янрикской брахиантклинали. К северу он перекрывается верхней толщей обманской свиты и кундуровской свитой.

Кругновкрапленниковые анортоклазовые фельзолипариты и витролипариты. Лишь в основании его залегают туфы, перекрывающиеся с витролипаритами. Мощность покрова до 200 м. Таким образом, мощность нижней толщи колеблется в пределах 200—400 м.

Верхняя толща уверенно выделяется в верховых р. Удуручана и не- сколько условно в Междууречье Сололи — Волчья падь. Нижние горизонты ее представлены серией лавовых потоков со стоями туфов. Лавы представляют собой преимущественно мелко- и средневкрапленниковые плагиоклаз-анортоклазовых разностей. В резко подчиненном количестве присутствуют туфы альбенитовых разностей пород нижних горизонтов является. Мощность этой части разреза 150—200 м. Верхние горизонты толщи сложены крупновкрапленниковыми плагиоклаз-анортоклазовыми фельзолипаритами мощностью 50—100 м. Общая мощность верхней толщи определяется 200—300 м. Суммарная мощность обманской свиты равна 400—700 м.

Туфоосадочные породы, условно отнесены к обманской свите, закартированы у с. Пашково. Составить полный разрез этих отложений не представляется возможным, так как они занимают пространственно разобщенные участки. В районе селки «Батальонной» (в 2,5 км северо-восточнее с. Пашково) на базальтах становирской свиты залегают алевритовые туфы, которые выше сменяются туфогенными песчаниками и туфами. Мощность отложений 50 м. В 2,5 км к северу от с. Пашково, в уступе покольской террасы, на корне выетривания липариты солонечной свиты залегают кулино- и меднозернистые туфогенные песчаники и туфы (1,7 м), которые перекрываются пелитовыми туфами, туфогравелитами и туфоконгломератами (6 м). Анортоклазовые фельзолипариты и фельзолипариты представлены породами светло-серой и серой окраски, массивные, реже филлократической текстуры. Структура основной массы фельзитовая, с участками микрополикратитовой или криптогеофизитовой структуры. Анортоклазовые липариты характеризуются микрополикратитовой основной массой и крупными кристаллами аноортоклаза. Мелко- и средневкрапленниковые плагиоклаз-анортоклазовые фельзолипариты представлены массивными и филлократитными породами. Они обладают криптогеофизитовой и витрофельзитовой структурами основной массы с вкрашенниками кварца, анортоклаза и плагиоклаза (олигоклаз-андезин). Туфы имеют псевфитовую структуру и содержат 40—60% обломков средневкрапленниковых липаритов. Основная масса их фельзитовидная с зернами кварца и аноортоклаза. Ксенотуфы обладают псевфитовой структурой и состоят из обломков фельзолипаритов, андезитов и андезито-базальтов.

Туфиты характеризуются псаммитовой, алевролитовой и псевфитовой структурами. Кластическая часть их сложена кислыми и основными эфузивами и зернами кварца и калиевого полевого шпата. Гуфопесчаники и туфоконгломераты в кластической части (до 60—90%) содержат окатанные обломки кислых и средних эфузивов, сланцев, гранитоидов и песчаников. Туфовые разности обманской свиты, судя по химическому составу и пересчету его по А. Н. Завариному (см. табл. 2), относятся к группе пород, богатых шелочами в классе пересыщенных кремнеземом. По сравнению с породами солонечной свиты они отличаются меньшим количеством пелитов. Возраст обманской свиты трактуется различно. М. И. Ишкенсон (1945 г.) и М. Г. Золотов (1959 г.) считают его верхнемеловым. А. Г. Глушков (1959)—нижнемеловым. В последние годы работами А. В. Паланина (1963ф), свита согласно перекрывает солонечную и перекрывает кундуровской свитой, возраст которой определяется как сеноман-сенон. Абсолютный возраст пород, верхней и нижней толщих верхнего мела. Более определенные цифры абсолютного возраста этих пород соседней с востока территории сообщены нам Б. И. Бурдэ. По восьми пробам они равны 105—111 млн. лет, что соответствует

Таблица 2

## Таблица химических анализов пород и результатов их пересчета по методу А. Н. Заварницкого

№ пп	Название породы	Место взятия образца и его номер*	Содержание в весовых процентах													
			SiO <sub>2</sub>	TiO <sub>2</sub>	Al <sub>2</sub> O <sub>3</sub>	Fe <sub>2</sub> O <sub>3</sub>	FeO	MnO	MgO	CaO	Na <sub>2</sub> O	K <sub>2</sub> O	SO <sub>3</sub>	P <sub>2</sub> O <sub>5</sub>	п.п.п.	Сумма
1	Фельзолипарит (Cr <sub>1</sub> ob)	Междуречье Удурчу- каны и Хингана, № 152	76,25	0,11	11,80	1,03	1,14	0,02	0,17	0,31	2,13	5,16	0,00	0,01	1,34	100,17
2	Фельзолипарит (Cr <sub>1</sub> ob)	Район поселка Есая- ловки, № 1165	75,87	0,27	12,18	1,40	0,68	0,01	0,13	0,17	2,30	6,01	0,00	0,01	1,03	100,06
3	Липарит (Cr <sub>1</sub> ob)	Среднее течение пади Бревенчатой, № 2010	75,22	0,30	12,62	0,78	1,15	0,01	0,05	0,31	2,42	5,19	0,00	0,05	1,62	99,72
4	Фельзолипарит (Cr <sub>1</sub> ob)	Междуречье Удурчу- каны и Хингана, № 2429-а	77,78	0,16	11,79	0,88	0,77	0,01	0,08	0,16	1,37	5,64	0,01	0,01	1,32	99,98
5	То же	Левобережье р. Хин- гана, № 3051	75,44	0,08	13,04	0,18	0,93	0,02	0,28	0,35	3,63	5,37	0,00	0,03	0,50	99,85
6	Агломерато- вый туф андезито- дацит (Cr <sub>1</sub> sI?)	Правобережье р. Хин- гана, № 3087	64,83	1,00	15,35	4,50	0,95	0,16	0,77	2,60	3,54	4,50	0,01	0,23	1,56	100,06
7	Анdezито- дацит (Cr <sub>1</sub> sI?)	Междуречье Удурчу- каны и Хингана, № 2444-а	64,80	0,93	14,40	3,04	1,67	0,07	2,66	3,74	3,53	3,51	0,01	0,20	0,87	99,43
8	Фельзолипарит (Cr <sub>1</sub> sI?)	Правобережье р. Хин- гана, № 3080-г	77,01	0,26	11,64	0,59	0,93	0,00	0,17	0,19	3,45	5,90	0,00	0,02	0,00	100,16

Продолжение табл. 2

№ пп	Название породы	Место взятия образца и его номер*	Числовые характеристики (по А. Н. Заварницкому)												
			a	c	b	S	f'	m'	c'	a'	n	t	φ	Q	a : c
1	Фельзолипарит (Cr <sub>1</sub> ob)	Междуречье Удурчу- каны и Хингана, № 152	11,5	0,3	5,5	82,7	40,0	5,8	—	54,2	19,3	0,08	0,1	42,1	38,3
2	Фельзолипарит (Cr <sub>1</sub> ob)	Район поселка Есая- ловки, № 1165	13,2	0,2	3,9	82,7	41,6	5,1	—	53,3	36,6	0,2	30	38,8	66
3	Липарит (Cr <sub>1</sub> ob)	Среднее течение пади Бревенчатой, № 2010	12,3	0,3	5,0	82,4	33,7	1,3	—	65,0	41,5	0,3	13,0	39,9	41
4	Фельзолипарит (Cr <sub>1</sub> ob)	Междуречье Удурчу- каны и Хингана, № 2429-а	10,6	0,2	5,7	83,5	26,1	3,4	—	70,5	26,8	0,2	13,7	45,6	53
5	То же	Левобережье р. Хин- гана, № 3051	15,2	0,4	2,1	82,3	46,9	21,8	—	31,3	50,8	0,0	6,2	33,8	38
6	Агломерато- вый туф андезито- дацит (Cr <sub>1</sub> sI?)	Правобережье р. Хин- гана, № 3087	14,6	3,1	6,5	75,8	78,5	20,4	1,1	—	54,3	1,2	62,3	19,3	4,7
7	Анdezито- дацит (Cr <sub>1</sub> sI?)	Междуречье Удурчу- каны и Хингана, № 2444-а	12,7	3,2	10,0	74,1	41,9	44,6	13,5	—	60,6	1,1	25,7	19,6	3,9
8	Фельзолипарит (Cr <sub>1</sub> sI?)	Правобережье р. Хин- гана, № 3080-г	14,7	0,6	1,2	83,5	58,0	21,0	21,0	—	47,0	0,3	42,1	37,0	—

\* Данные химических анализов 1—14 заимствованы у В. Ф. Синицкого (1964 ф), 15 у Ю. А. Наварнова (1960ф) и 16, 17 у Е. Е. Краснянской (1957ф).

Продолжение табл. 2

№ пп	Название породы	Место взятия образца и его номер*	Содержание в весовых процентах													
			SiO <sub>2</sub>	TiO <sub>2</sub>	Al <sub>2</sub> O <sub>3</sub>	Fe <sub>2</sub> O <sub>3</sub>	FeO	MnO	MgO	CaO	Na <sub>2</sub> O	K <sub>2</sub> O	SO <sub>3</sub>	P <sub>2</sub> O <sub>5</sub>	п.п.п.	
9	Липарит (Cr <sub>1</sub> sI?)	Правобережье р. Хингана, № 3080-а	73,36	0,13	13,14	1,16	0,92	0,02	0,11	0,35	4,00	6,34	0,01	0,02	0,44	100,00
10	Витролипарит (Cr <sub>1</sub> sI?)	Правобережье р. Хингана, № 3087-1	73,57	0,31	12,84	0,91	1,37	0,02	0,36	0,81	3,27	5,94	0,00	0,06	0,72	100,18
11	Фельзолипарит (Cr <sub>1</sub> sI?)	Правобережье пади Бревенчатой, № 500	78,21	0,07	10,79	0,66	0,52	0,02	0,08	0,15	3,01	5,75	0,00	0,01	0,65	99,42
12	Фельзолипарит (Cr <sub>1</sub> sI?)	Междуречье Удурчукана и Хингана, № 2442-а	76,43	0,11	11,38	1,04	0,90	0,01	0,22	0,35	2,67	5,23	0,00	0,01	1,44	99,79
13	Липарит (Cr <sub>1</sub> sI?)	Левобережье р. Хингана, № 3034	80,56	0,16	10,41	0,07	0,55	0,01	0,11	0,27	2,93	5,26	0,00	0,01	0,00	100,34
14	Липарит (Cr <sub>1</sub> sI?)	Междуречье Удурчукана и Хингана, № 1788	77,13	0,08	12,38	0,33	0,96	0,01	0,11	0,27	3,02	5,21	0,00	0,00	1,11	100,61
15	Гранит-порфир (γCr <sub>2</sub> )	Вершина пади Федосеихи, № 1230	77,33	0,20	12,97	0,48	0,47	0,01	0,17	0,11	2,75	4,58	0,00	0,02	0,72	99,81
16	Крупнозернистый розовый гранит (γPz <sub>1</sub> )	Район пос. Тармунь, № 2440-а	72,70	0,32	14,31	0,19	1,98	0,04	0,51	1,52	3,42	4,55	0,06	0,04	0,38	100,28
17	Биотитовый гранит (γPz <sub>1-2</sub> )	Бассейн р. Урила, № 2449	68,8	0,32	16,94	0,12	2,68	0,06	0,77	2,86	3,52	3,15	0,01	0,10	0,67	100,17

Продолжение табл. 2

№ пп	Название породы	Место взятия образца и его номер*	Числовые характеристики (по А. Н. Заварецкому)												
			a	c	b	S	f'	m'	c'	a'	n	t	φ	Q	a : c
9	Липарит (Cr <sub>1</sub> sI?)	Правобережье р. Хингана, № 3080-а	16,9	0,5	1,8	80,8	66,7	11,1	22,2	—	49,2	0,2	51,8	27,3	—
10	Витролипарит (Cr <sub>1</sub> sI?)	Правобережье р. Хингана, № 3087-1	15,3	0,6	2,9	81,2	68,9	20,0	11,1	—	45,7	0,3	26,7	31,2	25,5
11	Фельзолипарит (Cr <sub>1</sub> sI?)	Правобережье пади Бревенчатой, № 500	13,1	0,1	0,9	85,9	46,7	20,0	33,3	—	45,6	0,2	13,3	45,5	—
12	Фельзолипарит (Cr <sub>1</sub> sI?)	Междуречье Удурчукана и Хингана, № 2442-а	13,8	0,5	0,8	84,9	53,8	23,1	23,1	—	43,6	0,0	26,6	45,4	32,2
13	Липарит (Cr <sub>1</sub> sI?)	Левобережье р. Хингана, № 3034	12,9	0,4	0,9	85,8	53,3	11,2	—	35,5	43,8	0,0	26,6	41,1	32,2
14	Липарит (Cr <sub>1</sub> sI?)	Междуречье Удурчукана и Хингана, № 1788	13,3	0,3	3,1	83,3	35,4	6,3	—	58,3	46,6	0,0	8,3	39,7	44,3
15	Гранит-порфир (γCr <sub>2</sub> )	Вершина пади Федосеихи, № 1230	12,0	0,1	5,1	82,8	16,5	5,1	—	78,4	47,5	0,2	7,6	41,5	120
16	Крупнозернистый розовый гранит (γPz <sub>1</sub> )	Район пос. Тармунь, № 2440-а	13,65	1,78	4,12	80,45	48,4	19,3	—	32,3	53	0,3	1,8	31,8	7,1
17	Биотитовый гранит (γPz <sub>1-2</sub> )	Бассейн р. Урила, № 2449	11,82	3,43	7,59	77,16	35,40	16,8	—	47,8	62	0,3	0,6	27,25	3,4

\* Данные химических анализов 1—14 заимствованы у В. Ф. Синицкого (1964ф), 15 у Ю. А. Наварнова (1960ф) и 16—17 у Е. Е. Краснянской (1957ф).

стует верхам нижнего мела. Таким образом, возраст обманийской свиты скоптеридий определяется в 150-160 млн лет. Помимо обманийской свиты, в верхнем мелу на юге Казахстана и в северной части Киргизии встречаются отложения, в которых преобладают скоптеридии из группы *S. (S.) tenuis*. Вид *S. (S.) tenuis* был впервые описан в 1869 г. немецким палеонтологом Г. А. фон Гейнрихом (Heinrich) из отложений южного Приуралья. Видовой эпитет *tenuis* (лат. *tenuis* — тонкий) дан по тонким, почти прозрачным раковинам. Скептически относясь к этому виду, я предложил для него название *S. (S.) tenuis*, так как вида *S. tenuis* в отложениях южного Приуралья не было. Вид *S. (S.) tenuis* включает в себя два подвида: *S. (S.) tenuis* и *S. (S.) tenuis* *lanceolatus* (Bogolyubov, 1955). Вид *S. (S.) tenuis* включает в себя две группы: *S. (S.) tenuis* и *S. (S.) tenuis* *lanceolatus* (Bogolyubov, 1955). Вид *S. (S.) tenuis* включает в себя две группы: *S. (S.) tenuis* и *S. (S.) tenuis* *lanceolatus* (Bogolyubov, 1955).

Верхний отдел

Кундуурская свита (*Graben*) закартирована в пределах горной части Малого Хингана (бассейны рек Урила, Грязной, Мутной и Хингана) и ВСХ-ы на склонами на южной окраине Зе-Буреинской впадины. Свита сложена конгломератами, туфогенитоморфатами, галечниками, гравелитами, песчанниками, алевролитами, аргиллитами, туфами и пластами угля, переходного от бурых к каменным. Вскрыта мощность свиты, вероятно, неполная, колеблется в пределах 150—900 м.

По литологическим признакам кундуурская свита отчетливо делятся на три толщи. Наиболее полный разрез нижней толщи вскрыт скважинами в районе ст. Кундуров (Краснанская, 1957ф). Здесь толща представлена чередованием конгломератов, гравелитов и песчанников. Конгломераты и гравелиты пользуются широким распространением в нижних и средних горизонтах толщи, где слагают мощные слои (до 35—40 м), перемежающиеся с пластами глин.

На юго-западе в почвенных горизонтах тонально-песчаные стены глин.

На левобережье Хингана В. Ф. Синцким (1964ф) изучен исполнный разрез нижней толщи, мощностью всего 50 м. Здесь толща представлена переслаиванием неравнометрических песчаников с прослоями песка, галечника и конгломерата, залегающих на раннемеловых эффузивах солончаковой и обманьской свит. Контакт с обманьской свитой открыт в двух местах, в вершине руч. Андриянихи. Здесь на выветрелых липаритах залегает горизонт колибрита с валунно-галечными отложениями, наклон подошвы которого колеблется от 0 до 40°.

Средняя толща, вскрытая скважинами в районе ст. Кундуру, представлена преимущественно пестраниками и реже алевролитами. Низы толщи сложены грубозернистыми песчаниками, которые вверх по разрезу постепенно сменяются сине-тонкосланцевистыми разностями. Вскрыта мощность толщи 400 м. На левобережье Хингана мощность ее уменьшается до 50—70 м, однако состав толщи сходен с вышеописанным.

горных выработках на правобережье р. Мутной у ст. Кундура и в верховьях реки Куприяновой Свирь. Наиболее полно изучена в скважинах и на дне р. Удуручуана. В основании ее залегают среднезернистые песчаники мощностью до 25 м, которые выше сменяются мелкозернистыми песчаниками, переслаивающимися с алевролитами и аргиллитами. В последних вскрыто четыре линзочкиами витрена и значительной примесью туфогенного материала. Углы переходные от бурых к камениным. Мощность верхней толщи в пределах вышеуказанных участков составляет от 50 до 150 м.

Конгломераты нижней толщи характеризуются стально-серой и зелено-вато-серой окраской. Кlasticический материал, составляющий 70—80% основной массы, во многом определяется составом подстилающих пород. На правобережье р. Мутной галька в конгломератах представлена преимущественно щебенками (до 60%), реже встречаются кварц, кварциты и эффеузивы. На левобережье р. Хингана преобладает галька эффеузивов, реже встречаются кварциты, гнейсы и сланцы. Связующим материалом является песчаник, иногда туфогенный.

Песчаники представлены полимиктовыми разновидностями от мелко- до грубозернистых. Последние отмечаются преимущественно в нижних горизонтах свиты и характеризуются крайне низкой отсортированностью.

Из верхней и средней частей свиты Е. Е. Краснянской (1957ф) собрана большая коллекция ископаемой флоры, а также пресноводной фауны (пепинояды, гастropоды, ракообразные, рыбы).

Среди растительных остатков М. О. Борсук и М. М. Кошман (1962г) определили *Aleurites dicksonianum* Неер, *Ginkgo bartramensis* Ward., *Tilia cf. cretacea* (Неер) Newb., *Cephalotaxopsis heterophylla* Hollick, *Torreya (Tunion.) graciliflora* Hollick, *Tyrpha* sp., *Mucronaria eremata* Heer, *Sequoia* cf. *fastigiata* (Sternb.) Heer, *Ziziphis pseudomeeki* Holl. и *Quercus angulata* (Newb.) Krysh. t., *Trochodendroides arctica* (Heer). Вегет. *Viburnum* cf. *richardsonii* Knowlt., *Viburnum* sp., *Ficus* sp., *Pseudoprotolyptium* sp., *Nelumbo* (?) sp.

На основании этих определений М. О. Борсук и И. И. Кошман считают, что возраст отложений может быть датирован от сеномана до сенона. По данным палеонтологическим исследованием П. И. Бигюцкой возраст кундурской свиты из района ст. Кундура определяется сеноман-туронским (Кошман, 1962ф).

Пресноводная фауна, собранная Е. Е. Краснянской и М. М. Кошман, определена Г. Г. Мартинсоном. Она представлена *Liotplax* (?) sp., *Phylopoda* sp., *Lingapta* sp., *P. sp.* (*Bairdesthera* sp.), *Union* sp., *Lamprosoma* sp., *Guranis* cf. *sibiricus* (Midd.), *Vitulata* sp., *Limnocyrena* aff. *attiformis* (Grub.), *L. cf. sublata* (Reiss.), *L. cf. rammelmeijeri* M., *L. cf. wagchi-**nensis* (Grub.), *L. cf. lacustris*, *L. sp.*, *Liotrapa* cf. *dawsoni* Novoj. По этой фауне Г. Г. Мартинсон (Кошман, 1962ф) относит кундурскую свиту к бар-реманту.

Таким образом получается пространство: грунты — кундурская свита —

Бо́льшанска свита (*Страбг*). К этой свите отнесены липариты, их туфы, туффоконгломераты, туфопесчаники и туфлиты. Липариты и их туфы в Межжульечье Урила и Мутной залегают на породах кудурской и урильской свит, а на левобережье р. Бол. Соломы перекрывают обманьскую свиту. На этих участках они слагают верхние части водоизделов. Судя по линии контакта липаритов с породами урильской, обманьской и кудурской свит, в общем повторяющей изолинии рельефа, залягают липариты почти горизонтально, а мощность их определяется 200 м. Контакт липаритов с породами кудурской свиты изучен по горным выработкам в 4 км западнее пос. Кудур. Типично на контакте с аргиллитами имеют фельзитовидную корку, залягающую мощностью 1—2 см и характеризуется почти полным опусканием крашенников. По мере удаления от контакта котловина постепенно

леников увеличиваются и уже в 15–20 см порода приобретает облик нормального липарита. Осадочные породы у контакта несколько ожелезнены, но явных следов обкига в них не замечено. Падение контакта на северо-восток под углом 18°. Подобный характер контакта описан Е. Е. Красинской (1957ф) в З. км северо-восточнее пос. Кундур. В канаве, непосредственно у контакта, замечено, что липариты содержат мелкие вкрапления аргиллитов.

Более пестрые по составу породы опицаемых отложений кундуровской свиты залегают в Ботучан. Здесь на тuffoskeletalных отложениях кундуровской свиты залегают липариты (40 м), которые выше сменяются туфоконгломератами, туфопесчаниками, туфами и туффитами (20 м). По составу и текстурно-структурным особенностям эти липариты сходны с теми, которые отмечены выше.

Липариты — светло-серые породы порфиритовой структуры с минералами титановой и микролитоморфозернистой основной массой. Порфирировые выделения (10–20%) представлены кварцем, сапонитом и ортоклазом. Туфоконгломераты характеризуются светло-серой окраской. Кластический материал (50–70%) представлен хорошо окатанной галькой преимущественно липаритов, кремнистыми породами и гранитами. Туфы — кристаллокластические. В основной массе их наблюдаются мелкие зерна кварца, калиевого шпата, плагиоклаза.

В туффитах опилки Сагибовский Ботучан В. П. Ренгарденом (1916 г.) собраны растительные остатки, среди которых А. Н. Криштофовичем определены *Asplenium dicksonianum* Н.е.г., *Ginkgo adiantoides* (Унг.) Н.е.г., *Copiferae* sp., *Platanus* sp. По мнению А. Н. Криштофовича, эти немногочисленные растительные остатки характеризуют отложения датского яруса, но древнее цагайских. В 1964 г. в том же горизонте туффитов А. П. Сорокиным и К. П. Каравановым были обнаружены растительные остатки, среди которых М. М. Кошман, кроме указанных форм, определила *Gleichenia* sp. cf. *zippelii* Крушт., *Rhamnus* cf. *newberryana* Н.е.г., *Rhamnus* cf. *cornifolius* Н.олик, *Cladophlebis* cf. *arcicola* Н.е.г., *Gleichenia* sp., *Cephalotaxopsis microphylla* Наха Н.олик, *Phyllites* sp. (cf. *Dalbergites sewardiana* Шароенко).

М. М. Кошман указывает, что породы, вмещающие описанную флору, относятся к позднему мелу, быть может сеноман-сенону.

### Маастрихтский и датский ярусы

Цагаянская свита закартирована в бассейнах рр. Урила, Мутной, Хингана и вскрывается скважинами в долине Амура (см. рис. 1). По литологическим признакам она разделена на три подсвиты:

*Нижняя подсвита* (*Ст2г1*) сложена контгломератами, песчаниками, слабо сменявшимися пеками и галечниками с прослоями алевролитов и аргиллитов. Мощность подсвиты не постоянна и колеблется в пределах 10–200 м. Состав нижней подсвиты меняется как по разрезу, так и по площади. На участках с непосредственным выходом на поверхность этих пород преобладают грубобломочные отложения. В западной части площасти листа они сменяются тонкозернистыми разностями. Наиболее полный разрез грубообломочных пород нижней подсвиты вскрыт скважинами у пос. Кундур. Здесь на песчано-алевролитовых отложениях кундуровской свиты в скв. 4 залегают \*:

- Гравийно-галечные отложения с прослоями гравелитов и мелко-галечниковых контгломератов . . . . . 52 м
- Песок тонко-, мелкозернистый . . . . . 13 "
- Гравелит с прослоями контгломератов . . . . . 9 "
- Чередование гравелитов, иногда туфогенных, с тонко- и мелко-зернистыми песчаниками, редко контгломератами и алевролитами . . . . . 41 "
- Чередование гравелитов и алевролитов . . . . . 55 "

Всего . . . . . 170 м

\* Здесь и в дальнейшем, исключая четвертичные отложения, разрезы опи- сываются снизу.

Более высокие горизонты нижней подсвиты, изученные Е. Е. Красинской (1957ф) к северу от скважины, представлены контгломератами мощностью порядка 30 м. Общая мощность нижненагайской подсвиты для этого участка оценивается 200 м.

Для характеристики нижней подсвиты в наиболее прогнутых участках фундамента приведем разрез по скв. 3 (Попов, 1964ф). Здесь, на каолинизированных породах кундуровской свиты, залегают (рис. 1):

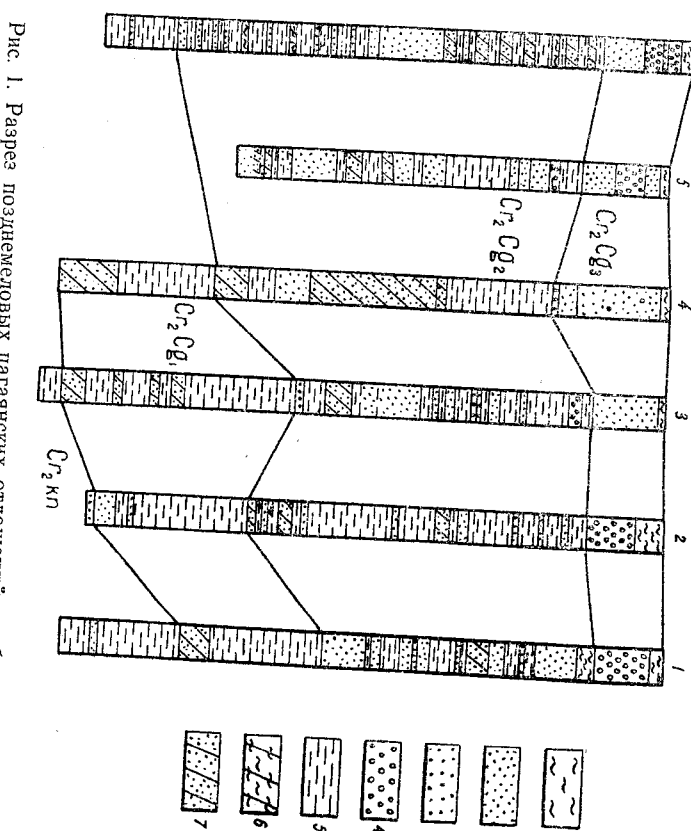


Рис. 1. Разрез позднемеловых цагайских отложений по буровым скважинам. Масштаб: горизонтальный 1 : 200 000, вертикальный 1 : 25 000. 1 — глина; 2 — песок; 3 — гравий; 4 — галечник; 5 — аргиллит; 6 — алевролит; 7 — песчаник

- Песчаник мелкозернистый серый . . . . . 10 м
- Аргиллит светло-серый с зеленоватым оттенком и тонкими прослойками . . . . . 36 "
- Песчаник мелкозернистый серый с глинистым цементом . . . . . 6 "
- Аргиллит светло-серый с зеленоватым оттенком . . . . . 48 "

Всего . . . . . 100 м

Из нижней подсвиты в карьере у пос. Кундур Е. Е. Красинской (1957ф) были собраны растительные остатки, среди которых М. О. Борсук и М. М. Кошман определили *Taxodium dubium* (Стегиб.) Н.е.г., *T. angustifolium* Н.е.г., *Cephalotaxopsis* sp., *Phyllites* sp. cf. *Quercus* sp. По заключению М. О. Борсук и М. М. Кошман, вмещающие их отложения можно устновить отнести к верхнему мелу-палеогену, т. е. времени образо-

вания цагайского комплекса.

В 1959 г. Ю. А. Наварнов в канаве между поселками Есаулковой и Казачьим обнаружил растительные остатки, среди которых М. М. Кошман

были опознаны *Trochodendroides arcticus* (Негер), *Zizyphus* c. *hy-  
perborea* Негер, *Nordenskiöldia borealis* Негер, *Taxodium* sp., *Protophyllo-  
cladus* sp. Эта фауна, по заключению М. М. Кошман (Наварнов, 1960 ф.),  
скорее всего указывает на позднемеловой (датский) возраст вмещающих  
пород.

Кроме того, следует указать, что на правом берегу Амура, в 10 км  
ниже с. Касаткино, среди конгломератов, галечников и песков найдены *Man-  
dshuricosaurus amurensis* Риаб., *Sauropodus kryztofovičii* Риаб., *Alberto-  
saurus periculosis* Риаб., *Esteria amurensis* Чегп., *E. posidonioides*

Чегп., остатки речных черепах из семейства Trionchidae, окаменелые  
остатки *Cupressitoxylon*. На основании изучения динозавровой фауны  
А. Н. Рябинин первоначально отнес эти слои к маастрихту, но позднее до-  
пускает возможность что они могут относиться к кампанскому ярусу (С. А. Му-  
зылев, 1962 г.).

**Средний подсвита** (*Стрзг2*) характеризуется более тонкозернистым соста-  
вом осадков. Она представлена чередованием песчаников, слабосланцевитирован-  
ных песков, аргиллитов, редко гравелитов и алевролитов. Нижняя граница  
подсвиты проходит по кровле Монийской пачки аргиллитов, весьма характер-  
ных для верхней части этой подсвиты. Монийская пачка, свиты, свитая и поглощая  
колеблется в пределах 50—180 м. Наиболее полный разрез средней подсвиты во-  
скрывается скважинами в долине Амура (Попов, 1964). Здесь на нижней  
подсигне (скв. 6) залегают:

1. Песок мелкозернистый кварцево-полевошпатовый, чередующийся с алевролитом зеленовато-серого цвета . . . . .	85 м
2. Песок крупнозернистый серый кварцево-полевошпатовый . . . . .	28 „
3. Аргиллит темно-серый, чередующийся с песчаником мелкозерни- стым кварцево-полевошпатовым . . . . .	33 „
4. Песчаник крупнозернистый кварцево-полевошпатовый серый . . . . .	5 „
5. Аргиллит темно-серый, чередующийся со слюдистым алевролитом . . . . .	12 „
6. Песчаник мелкозернистый кварцево-полевошпатовый, чередующийся с аргиллитом светло-серым . . . . .	14 „
7. Аргиллит светло-серый с растительным детритом . . . . .	3 „

Всего

180 м

В бассейне р. Урила отложения средней подсвиты характеризуются более  
грубобобломочным составом. По данным В. Г. Барнавского (1954ф) здесь, на-  
ряду с пестраниками и аргиллитами, присутствуют гравелиты и галечники, а  
мощность подсвиты составляет 50—100 м.

Возраст среднедаганской подсвиты определяется на основании споро-  
пыльцевых спектров, полученных из керна буровых скважин. По заключению  
П. И. Битюцкой и А. И. Мичиной (Попов, 1964ф), эти споро-пыльцевые спек-  
ты характерны для отложений паганской свиты позднемелового возраста  
(датский ярус).

**Верхняя подсвита** (*Стрзг3*) мощностью 25—50 м представлена песками,  
«раннем», галечниками. Контакт верхней подсвиты со средней — чешуйчатый и про-  
должается по подошве слоя крупнозернистых песков, гравия или галечника,  
мощностью до 10 м.

Одним из наиболее полных разрезов верхней подсвиты вскрывается скв. 4,  
пробуренной в долине Амура. Здесь наблюдается:

1. Гравий серый с галькой эфузивов, метаморфических и извер- женческих пород . . . . .	1 м
2. Песок мелкозернистый кварцево-полевошпатовый с редкой галькой . . . . .	7 „
3. Песок разнозернистый кварцево-полевошпатовый с гравием . . . . .	34 „

Всего

42 м

Сходные разрезы верхней подсвиты мощностью до 50 м вскрываются  
скважинами на правобережье Урила (Барнавский, 1954ф).

Возраст верхней подсвиты определяется по споро-пыльцевым спектрам.  
По заключению Г. И. Битюцкой (Попов, 1964ф) они характеризуют отло-  
жения паганской свиты позднемелового возраста. Учитывая литологическое  
сходство этих пород с отложениями верхней подсвиты сопредельных районов  
(Юдин, 1963ф), возраст их определяется как датский ярус.

#### МЕЛОВАЯ — ПАЛЕОГЕНОВАЯ СИСТЕМЫ

##### Датский ярус меловой системы и палеоцен

Киевлинская свита (*Стрз+Ргжкв*). К этой свите отнесены угленос-  
тые отложения, развитые в районе поселков Шапуркино и Богучан. Она со-  
провождается верхнюю подсвиту, граница между которыми условно  
выверхней подсвите. Свита представлена глинами, алевролитами, песками и  
пластами и линзами бурого угля. Вскрытая мощность ее равна 130 м. Всего  
в Киевлинской свите четыре пласти («Великан», «Промежуточный», «Двойной»)  
и «Нижний») и два простых бурого угля. Наибольшую мощность (до 18,7 м)  
имеет пласт «Великан», залегающий на глубине 0—60 м от поверхности во-  
дораздела, сложенного отложениями белогорской свиты (табл. 3). Остальные  
пласты залегают довольно глубоко (более 100 м) от поверхности. Мощ-  
ность их колеблется от 0,15 до 9,85 м.

Наиболее полный разрез киевлинской свиты вскрыт скважиной, пробу-  
ренной к востоку от с. Шапуркино, на горе Удачной (Барнавский, 1954ф):

1. Алевролит зеленовато-серый, переслаивающийся с глиной зеленого цвета . . . . .	6,9 м
2. Песок мелкозернистый, переслаивающийся с глиной и алевролитом . . . . .	5,6 „
3. Глина серая, темно-серая и темно-коричневая, плотная с распи- тельными остатками плохой сохранности . . . . .	14—45 „
4. Песок мелкозернистый серый . . . . .	1—3 „
5. Глина светло-серая и зеленовато-серая, иногда углистая, чередую- щаяся с алевролитом серым слюдистым . . . . .	2,75 „
6. Уголь бурый (пласт «Нижний») . . . . .	2,22 „
7. Глина бурая плотная, чередующаяся с алевролитом . . . . .	3,85 „
8. Уголь бурый . . . . .	0,3 „
9. Глина углистая, чередующаяся с алевролитом . . . . .	4,25 „
10. Уголь бурый (пласт «Двойной») . . . . .	0,7 „
11. Глина серая, зеленовато-серая плотная . . . . .	2,6 „
12. Уголь бурый . . . . .	0,4 „
13. Песок разнозернистый зеленовато-серый . . . . .	11,7 „
14. Глина, чередующаяся с алевролитом . . . . .	0,8 „
15. Уголь бурый (пласт «Промежуточный») . . . . .	8,0 „
16. Песчаник мелкозернистый зеленовато-серый . . . . .	8,8 „
17. Песчаник мелкозернистый глинистый зеленовато-серый . . . . .	11,85 „
18. Глина серая с растительными остатками плохой сохранности . . . . .	11,35 „
19. Уголь бурый («Пласт «Великан») . . . . .	

Всего

130 м

На левобережье р. Архары, у пос. Шапуркино, из керни верхнего пла-  
тофорицем и Т. Н. Байковой (1947ф) определены *Wodwardia* sp., *Mete-  
tostrobis eptoreius* (Байков) Mik., *Taxodium dubium* (Sternb.) Негер, *Gly-  
ptis intermedia* Holl. Эти формы свидетельствуют, по мнению А. Н. Криштова и Т. Н. Бай-

ковской, о паганском возрасте улленской толщи. В 1932 г. в шурфе над верхним пластом, П. М. Сокольниковым были  
собраны растительные остатки, среди которых С. М. Ткаличем определены

*Sequoia langsdorffii* (В. Г. О. Г. Н.) Нег., *Taxodium distichum* тюсепи Нег., *Populus arctica* Нег., *P. richardsonii* Нег., *Zingiberites* sp., *Equisetum* sp., *Grewia abovata* Нег.

По заключению С. М. Ткалича (М. А. Саканцев, 1939 г.) отложений, содержащие эти формы относятся к дагскому ярусу.

Все эти флористические остатки характеризуют средние горизонты свиты. Верхние части разреза кивдинской свиты на рябининском буруогольном месторождении содержат слои с ксерофитной флорой палеопена (Байковская, 1947 ф.). В связи с этим возраст кивдинской свиты в настоящее время датируется в пределах дагского яруса — палеоцен.

## НЕОГЕНОВАЯ СИСТЕМА

### Миоцен

Сазанковская свита (Nsz). К этой свите отнесены каолинсодержащие пески, галечники, редко глины, на трех разобщенных участках. В районе прииска Ивановского и в бассейне р. Урила они залегают на размытой поверхности раннепротерозойских и палеозойских образований и перекрываются базальтами. В междууречье Мутной и Хингана эти отложения с размытым перекрывают нижнепалеянскую подсвиту, а в районе с. Сторожевого и пади Волчей — раннепозднемеловые эфузивы. Залегание свиты близкое к горизонтальному, мощность ее колеблется от 8 до 60 м.

В районе прииска Ивановского Н. С. Ильиной (1949 г.) изучен следующий разрез сазанковской свиты:

1. Галечник с галькой, представленный кварцем, эфузивами и кремнистыми породами . . . . .	1 м
2. Песок серый каолинсодержащий с галькой кварца . . . . .	5 "
3. Глина светло-серая с углистыми остатками; в верхних частях разреза глина углистая . . . . .	2 "
Всего	8 м

В Междуречье Мутной и Хингана, в верховых пади Волчей и районе с. Сторожевого разрез свиты характеризуется преимущественно песчаным составом, а мощность ее достигает 60 м. В основании свиты здесь залегают валуно-галечные отложения мощностью до 1 м. Выше они сменяются желто-вато-серыми преимущественно грубозернистыми песками, с примесью гравия и гальки, с редкими линзами белых каолиновых глин. Характерной особенностью этих отложений является присутствие каолина, содержание которого увеличивается вниз по разрезу.

Минеральный состав песков довольно однообразен. Легкая фракция их представлена кварцем (до 60%) и полевым шпатом. В тяжелой фракции песков преобладают устойчивые минералы (ильменит, циркон), содержание которых достигает 90% веса тяжелой фракции.

Из отложений сазанковской свиты в районе прииска Ивановского определены сплошные стеклы, которые, по мнению Л. Н. Лапиной (Н. С. Ильиной, 1949 г.), позволяют говорить о третичном, ближе всего олигоцен-миоценовом возрасте город. А. И. Мачина и М. В. Зива находят сходство этих стеклов с таковыми из сазанковской свиты миоценового возраста, изученными для более западных районов (Юдин, 1963 ф.).

### НЕОГЕНОВАЯ И ЧЕТВЕРТИЧНЫЕ СИСТЕМЫ Плиоценовые и нижнечетвертичные образования

Белогорская свита ( $N_{4+}Q_{4b}$ ) пользуется спорадическим распространением. На правобережье Урила она с размытыванием залегает на кивдинской и супервендигитской подсвитах, а в бассейне пади Федосихи и с. Сторожевого, перекрывает сазанковскую свиту раннепалеозойские гранитоиды и меловые эфузивы. Свита представлена песками, гравием, галечниками,

редко глинами. Мощность белогорской свиты, судя по разности абсолютных отметок ее головицы (200 м) и кровли (до 260 м), составляет 60 м.

В северо-западной части территории листа, в районе Архаро-Богучанского буруогольного месторождения, белогорская свита вскрыта многочисленными сваяжинами. М. С. Саканцевым (1939 ф.) приводится следующий разрез на узких отложениях (белогорской свиты) в районах пос. Шапуркино:

1. Песок крупно- и среднезернистый серый . . . . .	11,9 м
2. Песок среднезернистый серый с галькой . . . . .	10,3 "
3. Глина плотная . . . . .	0,3 "
4. Песок среднезернистый желтовато-серый . . . . .	4,85 "
5. Песок крупно- и среднезернистый с гравием и галькой . . . . .	13,35 "

Всего 40,7 м

На левобережье р. Хингана разрез свиты характеризуется более грубозернистым составом. В ее основании здесь залегают крупнозернистые пески или галечники от 1 до 10 м. Галька представлена эфузивами, кварцем, гравием, гальками. Степень окатанности I—III класс по А. В. Хабакову (Воскресенский, 1964 ф.). Средняя и верхняя части разреза свиты представлены пачкой радиоизернистых песков с гравием и галькой, редко глинами. Мощность белогорской свиты на этом участке составляет 60 м.

В целом для белогорской свиты характерны грубозернистый состав отложений и интенсивное окисление пород верхних горизонтов, вследствие чего они окрашены в ржаво-буровый цвет. Легкая фракция песков, в отличие от аналогичных пород сазанковской свиты, состоит из разных количеств кварца и полевого шпата. В тяжелой фракции, наряду с ильменитом и цирконом, в значительном количестве присутствуют сфен, рутил, гранат, лейкоксен и др. (Бескиресский, 1964 ф.).

Возраст белогорской свиты в пределах территории листа, на основании немногочисленных сплошных спектров из средних и верхних горизонтов определяется нижнечетвертичным (Бескиресский, 1964 ф.). Более пойные сплошные комплексные комплексы, полученные А. И. Мачиной из отложений белогорской свиты, развитой к северо-западу от рассматриваемого листа, позволяют говорить о плиоцен-раннечетвертичном возрасте белогорской свиты (Юдин, 1963 ф.).

Базальты ( $\beta N_2 + Q_1$ ) слагают водораздельные пространства рек Урила, Мутной и Хингана. Они образуют крутой, расщепленный на запад, абсолютные отметки подошвы покрова колеблются от 250 м (на западе) до 400 м (на востоке), а поверхности — 350—500 м. Таким образом, мощность базальтов составляет примерно 100 м. По текстурным особенностям выделяются плотные и пористые базальты, связанные между собой взаимопереходами. Для них характерна субгоризонтальный покров, слабо наклоненный на запад. Абсолютные отметки подошвы покрова колеблются от 250 м (на западе) до 400 м (на востоке), а поверхности — 350—500 м. Таким образом, мощность базальтов составляет примерно 100 м. По текстурным особенностям выделяются плотные и пористые базальты, связанные между собой взаимопереходами. Для них характерна гипидопилитовая, интересгальтная, реже витропорфировая структура основной массы. По составу вулканических разнотипов различаются пироксеновые, пироксен-олигиопилитовые и оливиновые базальты.

Т. Г. Баскаковой (1963 ф.) и Б. И. Бурдэ (1963 ф.) в туфогенно-осадочных породах, залегающих в нижних и средних горизонтах пойсера базальтов, обнаружены плиоценовые (по определению А. М. Нарышкиной) разнотипные осадки. В то же время, базальтовое плато расщеплено долинами, заложенными Камурой. Относится к эпохе более ранней, чем средний плиоцен. На это указывает наличие среднечетвертичных отложений IV террасы по притокам р. Амура. В связи с этим возраст базальтов может быть определен плиоцен-четвертичным.

### ЧЕТВЕРТИЧНАЯ СИСТЕМА

Отложения четвертичной системы широко развиты на территории листа. Они представлены преимущественно аллювиальными отложениями рек и элювиальными и делювиальными образованиями водоразделов.



## ИНТРУЗИВНЫЕ ОБРАЗОВАНИЯ

### РАННЕ-СРЕДНЕПАЛЕОЗОЙСКИЕ ИНТРУЗИИ

Интузивные образования в пределах листа представлены ранне-, ранне- и позднепалеозойскими гранитами, аplitами и пегматитами, ранне- и позднепалеозойскими гранитами, диоритами и кварцевыми диоритами, андезитами и диабазовыми порфиритами.

#### РАННЕПАЛЕОЗОЙСКИЕ ИНТРУЗИИ

Граниты *микроклиновые порфириодиориты* ( $\text{U}_{\text{Pz}}\text{I}$ ) известны на Малом Хингане под названием «биробиджанских». В пределах описанной территории они закартированы в двух местах: в верховье р. Мутной и бассейне пади Федосеки. В первом случае граниты слагают небольшой массив, площадь выхода которого на поверхность составляет всего  $7-8 \text{ км}^2$ . В бассейне пади Федосеки поле гранитов, площадью  $120-130 \text{ км}^2$ , является частью крупного плутона, уходящего на юг за пределы листа. Л. В. Эйриши (1964) рассматривает его как межформационную интрузию пластинобразной формы, выклинившуюся вдоль контакта хинганской и амурской серий.

Состав интрузии довольно однообразен. Они сложены порфириодиоритами (до  $1,5 \text{ см}$ ) порфировидными выделениями микроклина. Структура гранитов гипидиоморфозернистая и гранитовая. Они состоят из кварца ( $20-40\%$ ), олигоклаза ( $25-35\%$ ), микроклина ( $20-45\%$ ) и биотита ( $1-10\%$ ). Из акцессорных минералов присутствуют апатит и циркон. По мнению Е. Е. Красинской (1957ф) и Ю. А. Назарнова (1959ф), микроклин в порфировидных гранитах является минералом метасоматическим. На это указывает наличие в микроклине реликтов плагиоклаза и резорбции плагиоклаза микроклазах. Микроклинизация сопровождается образованием мирмекита в плагиоклазах и симплектита в слюдах.

Возраст гранитов на площади листа определяется в широких пределах. Они прорывают породы амурской серии и перекрываются раннеметаморфическими эфузивами. Возраст этих гранитов Л. В. Эйришием (1964) принимается раннепалеозойским, на основании определений абсолютного возраста биотита из гранитов (379 млн. лет) и пемматита (407 млн. лет).

Габбро-диориты, диориты и кварцевые диориты ( $\text{U}_{\text{Pz}}\text{II}$ ) закартированы среди по западу палеозойских гранитов у с. Тармунь и в  $8 \text{ км}$  западнее, где они образуют два небольших массива площадью  $1-1,5 \text{ км}^2$  каждый.

Наиболее распространением среди них пользуются диориты и кварцевые диориты или зеленовато-серые, мелко- или среднезернистые массивные породы. В краевых частях массива отмечаются более мелкогернистые различия диоритов и кварцевых диоритов.

Диориты и кварцевые диориты обладают призматической зернистой и гипидиоморфозернистой структурами и состоят из андезина ( $45-60\%$ ), роговицовой обманки ( $35-40\%$ ), биотита ( $0-7\%$ ) и кварца ( $0-10\%$ ). Аксессорные минералы представлены апатитом, сфеном и цирконом. Вторичные изменения проявляются в серпентизации и соссортитизации плагиоклаза и замещении роговой обманки хоритом.

Габбро-диориты характеризуются более темной окраской. Они обладают габбровой структурой и состоят из андезин-лабрадора и роговой обманки. Плагиоклаз часто соссортитирован, а роговая обманка почти полностью замещена хоритом.

Данные о возрасте габбро-диоритов, диоритов и кварцевых диоритов сводятся к следующему. Они прорывают раннепалеозойские микроклиновые граниты (Кошман, 1955ф) и прорваны позднепалеозойскими биотитовыми гранитами (Наварнов, 1960ф). На основании этих данных одни исследователи (Кашковский, 1962; Глушков, 1959) считают их моложе ранне-среднепалеозойских биотитовых и двуслюдяных гранитов, описанных ниже, другие (Золотов, 1959) — древнее. Абсолютный возраст описываемых пород не определялся. Признавая спорность этого вопроса, мы условно считаем их раннепалеозойскими.

Граниты *биотитовые, двуслюдянные* ( $\text{U}_{\text{Pz}}\text{I-2}$ ) развиты в бассейнах рек Урила, Тармачукана и Эракты. Они наблюдаются среди мезо-кайнозойских осадочных и эфузивных пород в виде небольших «окон», площадью до  $10 \text{ км}^2$ .

По внешнему виду это мелко- и среднезернистые, иногда порфировидные породы серого или желтовато-серого цвета. Состав их меняется от гранитов с некоторым преобладанием микроклина ( $10-48\%$ ) над плагиоклазом до  $42\%$ , кроме этих минералов, граниты содержат кварц ( $25-36\%$ ), биотит ( $1-16\%$ ), редко мусковит ( $0-4\%$ ), который часто развивается по биотиту. Аксессорные минералы представлены апатитом, цирконом, гранатом, сфером. Вторичные изменения выражаются в серпентитации и соссортитизации плагиоклазов, хлоритизации биотита. Структура гранитов аллотромуорфозернистая.

Судя по химическому составу (см. табл. 2) граниты относятся к породам, пересыщенным глиптомезом, но белных шелочами. Возраст гранитов в пределах листа определяется в широких пределах. Они прорывают породы уральской свиты и, в свою очередь, прорваны позднепалеозойскими гранитами. К востоку и северо-востоку на площадь листов  $M_{52-XXX}$  и  $M_{52-XLIV}$  подобные граниты прорывают «биробиджанские» микроклиновые граниты (Золотов, 1959; Кашковский, 1962). Определение абсолютного возраста описываемых гранитов, по валовому калию, на территории областей результаты:  $250$ ,  $272$ ,  $284$ ,  $318$ ,  $336$ ,  $337$  млн. лет. Учитывая это, возраст описанных гранитов считается ранне-среднепалеозойским.

#### ПОЗДНЕПАЛЕОЗОЙСКИЕ ИНТРУЗИИ

Граниты *биотитовые, роговообманково-биотитовые* ( $\text{U}_{\text{Pz}}\text{III}$ ) закартированы в бассейне Урила и у пос. Ивановского, где слагают несколько разобщенных массивов, удлиненных в северо-восточном направлении. Они представляют юго-западную оконечность крупного plutona, известного под названием Харинского, форма которого некоторыми исследователями рассматривается как птицебразная (Эйриши, 1964ф). В обнажении по правому берегу долины р. Урила, в  $5 \text{ км}$  юго-восточнее пос. Ивановского Ю. А. Назарновым (1960ф) установлено, что эти граниты прорывают биотитовые и двуслюдянные граниты. Последние на контакте имеют гнейсовидную текстуру, параллельно которой располагается инъекция роговообманково-биотитовых гранитов. В районе пос. Тармунь вскрыт контакт описываемых гранитов с габбро-диоритами. Границы у контакта обогащаются роговой обманкой (до  $20-25\%$ ) и плагиоклазом (до  $60-65\%$ ), превращаясь в гранодиориты. В приконтактной части нередко наблюдается зона закалки шириной  $1,5-2 \text{ см}$ . Весьма характерным является наличие в биотитовых и роговообманково-биотитовых гранитах ксенолитов диоритов (Седельникова, 1955ф).

Характерной особенностью этих гранитов является розовая, иногда мясистая красная окраска и малое количество темно-цветных минералов. Это крупно-, реже среднезернистые породы, массивные, редко гнейсовидные. Обладая гипидиоморфозернистой или гранитовой структурой, они состоят из микроклина ( $20-35\%$ ), кварца ( $20-40\%$ ), олигоклаза ( $20-35\%$ ), биотита ( $2-5\%$ ) и роговой обманки (до  $1\%$ ). Аксессорные минералы представлены цирконом и апатитом. Вторичные изменения проявляются в пелитизации микроклина, серпентизации плагиоклаза, хлоритизации биотита. Химический состав указывает на пересыщенность пород кремнеземом и повышенное содержание щелочей (см. табл. 2).

С позднепалеозойскими гранитами связаны дайки аplitов и пегматитов, которые отмечаются в экзоконтактных частях. Обычно они имеют незначительную мощность (до  $0,5-1 \text{ м}$ ) и северо-восточное простирание, с углом наклона  $40-65^\circ$  на юго-восток и северо-запад.

*Амбиты* ( $\text{IP}_{2a}$ ) характеризуются розовой окраской и обладают амбитовой структурой. Они состоят из кварца, микроклина, альбит-олигоклаза и редко биотита. Акцессорные минералы представлены гранитом и реже пирокном. *Пегматиты* ( $\text{PR}_{2a}$ ) имеют светло-серую окраску и состоят из кварца, мицелловыми образованиями. Абсолютный возраст этих гранитов из района крошкина, альбита, мусковита, редко турмалина, граната и апатита. Структура их пегматоидная и гранофиброзная, местами графитическая.

Биогритовые и роговообманково-биогритовые граниты проявляют раннепалеозойские биогритовые, двуслюдянные граниты и перекрываются позднемеловыми образованиями. Абсолютный возраст этих гранитов из района Тармунь (253 млн. лет) свидетельствует об их позднепалеозойском возрасте (см. табл. 1).

Абсолютный возраст аналогичных пород из бассейна р. Биря, у северной рамки листа, определенный по биотиту (Наварнов, 1960ф), также позднеалеозойский (223 млн. лет). Воздействие палеозойских гранитоидов на породы амурской серии выражается в их мигматизации. Ширина зоны инъекционных мигматитов не постоянная и колеблется в пределах от десятков метров до 2 км.

#### ПОЗДНЕМЕЛОВЫЕ ИНТРУЗИИ

*Гранит-порфириты* ( $\text{UplCr}_2$ ) и *гранодиорит-порфириты* ( $\text{UplCr}_2$ ) образуют штормовые листы, которые отмечаются как среди меловых вулканогенных образований, с которыми они генетически связаны, так и за пределами распространения этих городов. Штоки шириной до 1 км закартированы в бассейне р. Мутной и в междуречье Хингана и Фелосехи. Дайки мощностью до 1—2 м ориентированы в северо-восточном направлении.

Гранит-порфириты и гранодиорит-порфириты характеризуются резким преобладанием вкрашенников (до 80%) над основной массой. Они представлены кварцем, калиевым полевым шпатом, реже пегматитом, редко биотитом.

Структура основной массы микронагнистая, реже пегматоидная. Из акцессорных минералов встречаются циркон, рутил, апатит. Петрохимическими особенностями этих пород является резко выраженный щелочный характер и пересыщение глиноzemом (см. табл. 2).

Контактовое воздействие гранит-порфиритов и гранодиорит-порфиритов на вмещающие эфузивы выражается в образовании на контактах фельзитоподобных пород.

*Кварцевые порфириты* и *литариты* ( $\text{LltCr}_2$ ) отмечаются в виде даек в бассейне р. Хингана. Мощность их невелика (до 1,5 м), простирание северо-восточное, при углах падения 70—80°.

Основная масса их имеет фенокристовую или микрофельзитовую структуру. Порфировые выделения (до 25%) представлены кварцем, санидином и ортогоналитом.

*Альбезитовые порфириты* ( $\text{alcCr}_2$ ) отмечаются в вершине р. Удуручаны в виде маломощных (до 1 м) даек. Они представлены порфировыми породами с гипатолитовой и тракитовой структурами основной массы. Порфириты (20%) представлены альбезитом, роговой обманкой, редко биотитом.

*Диабазовые порфириты* ( $\text{BmCr}_2$ ) закартированы в бассейне пади Бол. Соловьи. Они слагают маломощные даеки (до 1—1,5 м) северо-восточного направления. Это порфировые породы (структуря основной массы микроофито-выделения) с вкрашенниками плагиоклаза и пироксена.

Возраст малых интрузий определяется на основании того, что они прорывают подземные эфузивы и содержатся в гальках и валунах осадочных отложений датского и маастрихтского яруса.

В бассейне р. Хинган Я. С. Веденяпиным (1961ф), Е. В. Быковской и В. Ф. Синицким (1964ф) выделяются жертовые тела, переходящие в потоки, сложенные андезито-дацитами, их агломератовыми туфами, литаритами, фельзолитами, обсидианами и их туфами. Вопрос об их возрасте является дискуссионным. Я. С. Веденярин и Е. В. Быковская считают, что они связаны

с болуучанской свитой ( $\text{Cr}_{2b}g$ ), В. Ф. Синицким — с солонечной (?) свитой ( $\text{Cr}_{1(\gamma)}sl$ ). При этом В. Ф. Синицким указывается, что в Ядринской карьере наблюдаются переходы жертовых тел в покровы, которые перекрываются породами кундуцкой свиты ( $\text{Cr}_{2kn}$ ). Автор придерживается точки зрения В. Ф. Синицкого о связи жертовых тел с солонечной свитой.

*Андезито-дациты и их альбомартовые туфы* ( $\text{al}_{\pm}\text{Cr}_1$ ) закартированы в бассейне р. Хингана. Форма тел шток- и дайкообразная. Размеры штоков солловых образований с вмещающими их породами резкие, нередко с зоной рыхлых дресвовобразных пород мощностью 0,1—0,4 м. Внутри жертовых тел частично отмечаются ксенолиты вмещающих пород.

Характерными особенностями жертовых тел являются: 1) круглогладающие контакты; 2) круглонаклоненное или вертикальное направление флюидальности; 3) морфологическая выраженнаяность границ жертовин в виде отрицательных форм рельефа.

*Литариты, фелезолиты, обсидианы и их туфы* ( $\text{lCr}_1$ ) развиты преимущественно на правобережье р. Хингана. Форма тел штокобразная. В пластинах они имеют изометрическую или овальную форму; размер 0,25×1 км в поперечнике. Контакты жертовых образований с вмещающими породами солловенной (?) склонны крутое (до вертикального), хорошо подчеркнуты с напряжением флюидальности. Морфологически штоки образуют куполовидные возвышенности. У восточной рамки листа, в Ядринском карьере, В. Ф. Синицкий (1964ф) наблюдал «верообразное «растекание флюидальности и выложивание ее до супоризонтального», что указывает на взаимопереходы жертовых тел в потоки.

#### ТЕКОНИКА

Основу геологического строения территории листа составляет Буреинский кристаллический массив (Красный, 1960). В центральной части листа выходят на поверхность мезокайнозойские вулканогенные и осадочные породы, слагающие Хинганско-Буреинский прогиб. Западная половина площади сложена преимущественно рыхлыми осадками и представляет южную оконечность Зе-Буреинской межгорной впадины (рис. 2).

Буреинский кристаллический массив выходит на поверхность в северо-восточной и юго-восточной частях описываемой территории. В пределах его значительным распространением пользуются породы амурской серии, которые образуют нижний структурный ярус. Нижние горизонты этого яруса, сплошь залегающие тулонинской свитой, отмечаются только в юго-восточной части площади листа. По данным Л. В. Эйриша (1964), южнее она слагает ядра антиклинальных складок северо-восточного направления. Более широко разбиты дичунская и урильская свиты, которые протягиваются в виде широкой полосы от восточной рамки листа до р. Грачной. В пределах этой полосы преобладают широтные направления сланцеватости и лишь в вершине р. Грачной они изменяются на северо-западные, где выделяются Грачанская антиклиналь. Ядро ее сложено дичунской свитой. Углы наклона пород на крыльях складки здесь не превышают 20°. Следует указать, что значительная часть замеров относится к складкам второго порядка, которые затрудняют расшифровку общих структур. Это хорошо видно в выемках вдоль железной дороги, где широко развиты мелкие изоклинальные складки, шириной от одного до нескольких десятков метров. Наряду с этим отмечается плойчатость и клиновая в плоскости, перепендикулярной поверхности сланцеватости. Углы падения крыльев складок колеблются в широких пределах: от 5 до 40—45°.

С раннепалеозойской складчатостью связано внедрение микрокинновых порфировидных гранитов, слагающих тело пластинобородной формы (Эйриш, 1964). Тектоническая нарушенность их выражается в гнейсированности, ориентировка которой в верхнем течении р. Мутной совпадает со сланцеватостью раннепротерозойских образований (углы наклона 40—80° на северо-запад).

Второй структурный ярус — это складчатый комплекс ранне- и позднеловых (до палеоцен включительно) образований, выполнивающих Хингано-Буреинский прогиб. Характер тектонических движений при обеих Межлу формирования первого и второго структурных ярусов остается неясным, так как



Рис. 2. Карта кровли пород фундамента

*1 — изолинии глубин залегания пород фундамента (в метрах от дневной поверхности)*

*по гравиметрическим данным (Макаренов, 1962); 2 — то же, по данным ВЭЗ (Горубев, 1962); 3 — участки отложений опущенных частей фундамента (минимумы); Касаткинский (1), Нижне-Мутнинский (2), Кудукский (3); 4 — то же, приподнятые (максимумы): Уральский (4), Богучанский (5), Нижне-Хантанский (6).*

значительна часть территории перекрыта мезо-кайнозойскими образованиями, а в наиболее приподнятых участках выведены на поверхность палеогеновые граничи. Наличие интрузий средне- и поздне-палеозойского возраста косвенно указывает на проявление складчатости в это время.

Движения, сформировавшие второй структурный ярус, являются многофазными. Существует точка зрения о наличии предпозднемеловой и сеноманской фаз складчатости (Глушкин, 1959). Однако их проявление на Малом Хингане было, вероятно, неоднинаковым. В пределах площиади листа они проявились

значительно слабее, чем в восточных районах. Если первая складчатость (предпозднемеловая) проявилась более или менее отчетливо, то вторая (септонаская) не изменила направления структур. На основании геологических и геофизических данных (см. рис. 2 и 3) в пределах второго структурного яруса выделяется несколько крупных складок северо-восточного направления. Это брахиантиклины, характерной особенностью которых является их некоторая удлиненность. В пределах Хингано-Буреинского прогиба такими складками являются Кундульская, Нижне-Соловинская и Соболинская брахиантиклины. В плане они имеют вытянутую овальную форму, с углами наклона пластов на крыльях 10—20°. Ядра их фиксируются кундульской и обманьской свитами или нижнечаганской подсвитой.

В бассейне р. Урила по согласному напластованию пород солонечной, кундульской и богучанской свит, на которых, в свою очередь, лежат паганские и кидинская свиты, условно выделяется Урильская брахиантиклиналь.

Менее четко выражены Пашковская, Ядринская и Верхне-Соловинская брахиантиклиниали. Они фиксируются выходами на дневную поверхность стволирок или солнечной свиты. Углы наклона пород на крыльях этих структур не превышают 20°.

О складках в пределах южной окраины Зеэ-Буреинской межгорной впадины судить трудно. Данные гравиметрических работ (см. рис. 3) указывают на наличие крупного Касаткинского прогиба, ориентированного в субмеридиональном направлении. В то же время, по разрезам скважин (см. рис. 1), проходивших вдоль прогиба, можно судить о том, что породы паганской и кундульской свит залягают слабо наклонно, в сторону наиболее опущенных участков минимума.

Рыхлые отложения сазанковской, белогорской свит и базальты, распространенные в бассейнах Урила, Мутной, Хингана, Федосеих и в районе сел Башкурово и Сторожевое, залягают горизонтально или слабо наклонно на восток и юго-восток. Совместно с четвертичными отложениями они слагают Третий структурный ярус.

Разрывные нарушения, выявленные в пределах листа, существенно не меняют направления пликативных структур. Большинство их отмечено в пределах первого и нижних горизонтов второго структурного яруса. Это указывает на запложение большей части разрывов в допозднемеловое и, в меньшей мере, в позднемеловое время.

Наиболее древними являются разломы северо-восточного направления.

Один из них прослежен по аэрофотоснимкам в междуречье Грязной и Урила. Он сечет структуры первого и частично второго структурных ярусов и контролирует зоной катаклизированных и брекчированных пород мощностью до 10 м. Поверхность смещителя наклонена, вероятно, на северо-запад, так как в том же направлении смещены Урильская, Диличанская и Богучанская свиты.

В бассейне р. Мутной на аэрофотоснимках отчетливо лепидотригнатический разрыв, направление которого меняется от субширотного до северо-восточного. В районе ст. Кундуль он вскрыт скв. 1. Разрыв контролируется зоной брекчирования пород с многочисленными зеркалами скольжения, ориентированными под углом 50—60°. Направление падения смещителя юго-восточное.

Два нарушения северо-восточного направления выделяются в бассейне р. Хингана, у восточной границы площиади листа. Они фиксируются в пределах нижних горизонтов второго структурного яруса, севернее и южнее ядра Ядринской брахиантиклинали, сложенного породами солнечной свиты. Эти разрывы являются кругопадающими (70—80°), согласными с падением пород на крыльях брахиантиклинали и контролируются лимонитизированными брекчиями, которые наблюдались в обнажении на р. Белой и в горных выработках на левобережье р. Хингана. Мощность брекчированных пород не превышает 1 м.

Относительно более молодое нарушение этого же направления зафиксировано по аэрофотоснимкам на правобережье р. Кундури. Оно расположено в пределах верхних и средних горизонтов второго структурного яруса. Величина смещения и направление смещителя не установлены.

Разрывные нарушения субширотного направления проявлены на левобережье р. Хиндана, где они секут породы солонечной и обманийской свит. Они довольно отчетливо decipherируются на аэрофотоснимках и фиксируются зонами дробления с крутым ( $55\text{--}70^\circ$ ) падением сместителей на юг.

Распространенными являются и разрывные нарушения северо-западного направления. Наибольшее их количество отмечено в Межгореце Мутной и Федосеихи, где они секут складчатые структуры второго структурного этапов. Наиболее интенсивной была раннеталеозойская складчатость, проявившаяся в образовании сложных по форме складок субширотного и северо-восточного направления. Следующий этап геологического развития, вплоть до раннего мела, остается недостаточно изученным.

Наличие средне- и позднеталеозойских интрузий косвенно указывает на проявление средне- и позднеталеозойских этапов складчатости. С начала раннего мела, а возможно и несколько ранее, территория к западу и югу от бассейна среднего течения р. Урила, испытывает опускание, сопровождающееся в общем погружение Зея-Буреинской межгорной впадины. Опускающиеся участки происходило, вероятно, по крупным разрывам северо-восточного и субмеридионального направления, на что указывает общая ориентировка отрицательных и положительных форм рельфа фундамента (см. рис. 2), в основном совпадающая с простиранием складок второго структурного яруса.

Наличие вулканогенных пород (станорской, солонечной и обманийской свит) в нижних горизонтах второго структурного яруса, указывает на то, что началу прогибания соответствовало интенсивное проявление вулканизма. Начальный этап вулканической деятельности характеризовался выбросами пирокластического материала и излиянием средних и основных лав станорской свиты.

Следующий этап вулканизма (образование солонечной свиты) заметно отличается от первого. Для него характерна наибольшая интенсивность проявления вулканизма центрального типа с частой сменой пирокластических выбросов лавовыми излиями из близко расположенных вулканов. При этом имело место неоднократное возобновление деятельности вулканических центров со сменой состава продуктов извержения.

Характерным для этого этапа вулканизма являлось одновременное извержение нестолбовых вулканов с разнообразными по составу продуктами (агломератовые ксеноуфы, переслаивание однотипных лав с туфами смешанного состава) и заменение снижение интенсивности эксплозивных процессов во времени (тяготение более крупных лавовых потоков и более мелкобломочных тuffов к верхним горизонтам солонечной свиты).

Заключительный этап раннемелового вулканизма (образование обманийской свиты) характеризовался трещинным типом излияний. На это указывает наличие молнистой толщи однообразных по составу лав при крайне незначительном распространении тuffов.

В предпозднемеловой этап развития в центральной части хребта малого Хингана пропали предположимо складчатость (Глушков, 1959). В пределах Хингано-Буреинского прогиба она выразилась в образовании крупных разломов северо-восточного и северо-западного направления (см. рис. 3), что обусловило блоковое строение этой территории и привело к образованию здесь брахиоморф, преимущественно северо-восточного и субширотного простирания.

В пределах юго-восточной окраины Зея-Буреинской межгорной впадины разрывная тектоника имела несколько иной план (см. рис. 2). Наряду с разрывами северо-восточного направления здесь проявились и субмеридиональные разрывы. Это обусловило наличие относительно опущенных и приподня-

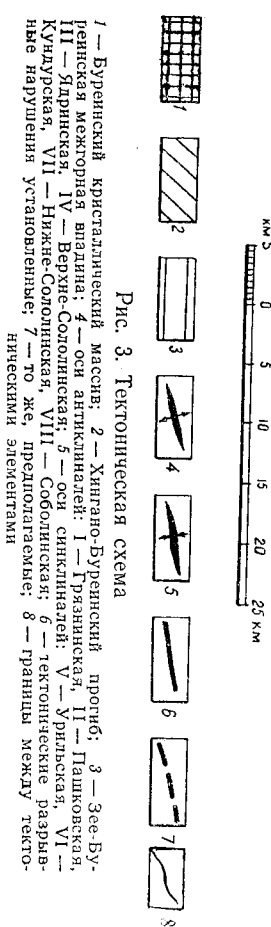


Рис. 3. Тектоническая схема

1 — Буреинский кристаллический массив; 2 — Хингано-Буреинский прогиб; 3 — Зея-Буреинская межгорная впадина; 4 — оси антиклиналей: I — Гриянинская, II — Пашковская, III — Ядринская, IV — Верхне-Солонинская; 5 — оси синклиналей: V — Уральская, VI — Кулдурская, VII — Нижне-Солонинская, VIII — Соболинская; 6 — тектонические разрывы; 7 — то же, предполагаемые; 8 — границы между тектоническими элементами

тых участков (блоков), которые отбывают с юга и востока жесткую глыбу Буренского массива.

Продолжающееся прогибание Зе-Буренской межгорной впадины захватило в позднем мелу и участки Хингано-Буренского прогиба. Опусканье происходило по заложенным ранее разрывам северо-восточного, субмеридионального и северо-западного направления и было дифференциальным. Одни участки протискались быстрее, другие медленнее, что привело к образованию невыдержанной по мощности ( $150$ — $900$  м) и литологическому составу кундурской свиты (секономан — секон).

Проявление сенонской складчатости в восточных районах нашло отражение в пределах Хингано-Буренского прогиба в поднятий существоавших ранее разрывов, которых сопровождало излияние эфузивов болотчанской свиты. По этим разрывам с маастрихтом постепенно опускалась Зе-Буренская межгорная впадина и прилегающих к ней областей. В этот период накапливались осадки пагонянской и кийлинской свит.

С конца плиоцене до миоцене юго-восточная окраина Зе-Буренской межгорной впадины была приподнята. В пределах ее, а также Хингано-Буренского прогиба и Буренского массива была образована единая поверхность выравнивания, слабо наклонная с востока на запад. В этот период здесь формировалась кора выветривания.

С миоценена начинается следующий этап прогибания Зе-Буренской межгорной впадины, размы и переотложение коры выветривания. С плиоценом (на начало образования белогорской свиты) область аккумуляции сокращается, ее граница смещается к западу и юго-западу. Это в значительной мере связано с оживлением тектонической деятельности, что выражается в перемещении блоков по разрывам, а также в измении базальтов.

В четвертичное время тектоническая деятельность выражалась в колебательных движущих небольшой амплитуды. Лишь в среднем (?) плейстоцене некоторое ее оживление проявилось в поднятии блока в районе сел Пашко-Бо — Сторожевое.

## ГЕОМОРФОЛОГИЯ

Территория листа расположена в зоне соединения двух крупных морфологических областей: Зе-Буренской равнины и горной части Малого Хингана. Неоднократные тектонические движения, происходящие в Кайноэсе, обусловили энергичное проявление здесь эрозии, денудации и аккумуляции.

Сочетание экзогенных и эндогенных процессов (тектонические подвижки, из-лияние эфузивов) привело к образованию рельефа трех генетических типов: эрозионно-денудационного, эрозионно-аккумулятивного и вулканического.

Эрозионно-денудационный тип рельефа характеризует переднюю часть от горной области Малого Хингана к юго-восточной окраине Зе-Буренской равнины (бассейн рек Урила, Тарманчурана, Бол. Сололи). Морфология этой территории довольно простая: низкогорье постепенно сменяется полого-уалистым рельефом.

Периферическая часть низкогорья, тяготеющая к южной окраине Зе-Буренской равнины, характеризуется относительно небольшими абсолютными отметками вершин ( $300$ — $550$  м) и слабой расчлененностью рельефа (относительные превышения составляют  $150$ — $200$  м). Водораздельные пространства здесь стяжены и широки (от  $1$ — $2$  до  $8$ — $10$  км), склонные пологи и большие частью покрыты стволами мощностью  $1$ — $3$  м. Долины рек широкие (до  $2$ — $3$  км) с ящицообразными, часто асимметричными пологими профилями. Реки имеют хорошо выработанный продольный профиль и замедленное течение. Здесь преобладает боковая эрозия и происходит аккумуляция.

Материк. Известные в районе россыпные месторождения золота приурочены к инзигорному рельефу.

С удалением от Зе-Буренской равнины (бассейн р. Большой Сололи) рельеф заметно меняется. Речные долины характеризуются здесь V-образными попечными и невыработанными продольными профилями, с сильно изрезанными дололи и крутыми (до  $20$ — $30$ °) склонами. Водоразделы поднимаются на

диапазоном долин на  $250$ — $350$  м, водораздельные гребни узкие, ширина их регионами долин на  $100$ — $200$  м. Здесь преобладает глубочайшая эрозия и, в меньшей мере, проявляется аккумуляция. В связи с этим долины являются мало благоприятными для образования россыпей.

В пределах низкогорья довольно четко выделяются древняя поверхность выравнивания. В бассейне р. Урила она отмечается в виде наклонной с востока на запад (абсолютные отметки  $250$ — $400$  м) поверхности, которая фиксируется пологой базальтовой почвой. Формирование ее следует, вероятно, спустя к доминированию времени, возможно, эоцену (Венус, 1964ф), так как в результате размыва и перегложания продуктов коры выветривания этой поверхности в миоцене были образованы сазановская свита, содеражащая каолиновые глины и каолинодержащие пески (Ильин, 1949).

К западу низкогорье Малого Хингана сменяется пологими увалами юго-восточной окраины Зе-Буренской равнины. Они имеют выпуклые склоны (углы наклона их  $5$ — $15$ °), которые возвышаются на  $100$ — $150$  м над широкими ( $4$ — $5$  км), обычно симметричными корытообразными долинами. Более резкие очертания этого типа рельефа приобретают в местах развития раковых отложений паганской, сазанковской и белогорской свит. Склоны здесь более круглые (до  $20$ — $25$ °), сильно изрезаны распадками; волнообразенные части уваливуются, иногда шириной всего в несколько десятков метров. В некоторых местах (левобережье р. Урила) увалы настолько расчленены, что местность приобретает характер мелкосопочника. Участки, сложенные гранитоидами, отличаются стяжевыми, массивными формами увалистого рельефа.

В Умка ногений рельеф представлен базальтовым плато в северо-восточной части района. Плато слабо наклонено с северо-востока на юго-запад. Основание его, с абсолютными отметками  $250$ — $400$  м, подчеркивает наклонную поверхность выравнивания водораздельного (?) возраста. Базальты сохранились лишь на водоразделах и представляют остатки не-желтого эрозии. В пределах периферических частей плато часто наблюдаются уступы, высотой  $1$ — $3$  м, характеризующие, вероятно, отдельные стадии излияний.

Эрозионно-аккумулятивный рельеф представлен комплексом террас в долинах рек и ручьев. Главная водная артерия района — р. Амур в пределах Зе-Буренской равнины имеет широкую ( $25$  км) террасированную долину. Русло ее, до с. Пашково, характеризуется многочисленными протоками и островами, ширина его достигает  $1,5$ — $2$  км. К юго-востоку от с. Пашково до с. Сторожевого, долина реки резко сужается. Амур течет здесь в крутых, скалистых берегах, один из которых шириной  $600$ — $700$  м.

Долины большинства притоков Амура (Мутной, Хингана, Урила) совпадают с северо-восточным направлением основных геологических структур района. В местах пересечения ими полого-уалистого рельефа днища долин состоят из низкой и высокой поймы и серии надпойменных террас (I, II, III, IV, V).

Поймы высотой  $0$ — $4$  м имеют ширину от нескольких сот метров до  $5$  км. Они заболочены и имеют малый уклон ( $1$ — $2$ °) поверхности к руслу. Поймы крупных рек имеют гривчатый рельеф с превышением грив над впадинами до  $2$  м. Возраст пойм современный ( $Q_{4-1}$ ).

Первая терраса Амура наблюдается в районе сел Касаткино, Башурово, Сторожевого и приустьевой части рек Грязной и Мутной. В западной части листа (по Меридиану с. Пашково) она имеет высоту  $4,5$ — $7$  м; в районе сел Башурово и Сторожевого до  $8$ — $10$  м. Уступ террасы часто сложен, а поверхность грядами шириной  $0,4$ — $0,8$  км почти горизонтальная, с ясно выраженными следами буждания русла. На ней часто размещаются озера и старцы. Возраст I террасы раннесовременный ( $Q_{4-1}$ ).

III терраса протягивается широкой полосой по левобережью Амура — от западной рамки листа до устьи р. Хингана и сохранилась в виде фрагментов вдоль рек Урила, Хингана и в районе сел Башурово и Сторожевое. Уступ ее слажен, поверхность шарнирной от 2 до 10 м., неровная, с многочисленными озерами и следами буржудия русла. Высота террасы от 7,5—10 м., в западной части листа до 12 м на юго-востоке площасти. Возраст террасы определяется как поздний плейстоцен (Q<sub>3</sub>p).

Xингана. Уступ ее выражен хорошо и имеет высоту до 2—3 м., площадка шириной 1—18 км, почти горизонтальная, часто со следами блуждания временных потоков. Высота террасы колеблется от 12—27 до 30 м. Возраст ее позднеплейстоценовый (Q<sub>3</sub>p<sub>1</sub>).

IV терраса наблюдается в виде фрагментов в районе сел Болгучан, Ново-Сергеевки, Атамановки, Пашково и Башурово. Высота террасы 30—55 м. Уступ ее, на отрезке Болгучан — Атамановка, выражена четко, на оставшейся территории слажен. Слабо наклоняется поверхность террасы шириной до 4 км, неровная, со следами блуждания временных потоков. Возраст террасы определяется как средний плейстоцен (Q<sub>3</sub>p<sub>1</sub>).

V терраса отмечена только в районе сел Шапуркино и Ново-Сергеевки. Высота ее 60—90 м. Она является скользящей террасой и соответствует, вероятно, началу времени заложения Амура. Поверхность ее шириной до 3 км слабо наклонная (до 2—3°), неровная. Время формирования этого уровня следует отнести к концу раннего или началу среднего плейстоцена.

История развития рельефа района представляется в следующем виде. Перед началом отложения осадков сазанковской и белогорской свит эта территория была выровнена и представила пленки, в прериях которых как формировались кора выветривания. В начале миоцена отдельные участки испытывали погружения. Это, в первую очередь, относится к западной половине площади листа, однако частично процесс погружения распространялся и на отдельные участки восточной половины листа (верховые р. Урила, междууречье Мутной и Хингана). Этот период характеризуется интенсивным разрывом и преотложением существовавших кор выветривания, что находит отражение в наличии каолиновых глин и каолиносодержащих песков среди отложений сазанковской свиты. С этими отложениями связаны и россыпные месторождения золота.

В плиоцене в результате блоковых подвижек произошло сокращение гравийных погружающихся участков. В то время, когда в наиболее погруженных участках отлагались осадки белогорской свиты, в пределах приподнятых участков, по разломам происходило изливание базальтов.

Ко второй половине раннего плейстоцена накопление рыхлых отложений сазанковской и белогорской свит и излияние базальтов завершилось.

Последний этап развития рельефа охватывает период от второй половины раннего плейстоцена до настоящего времени. К началу его относится время заложения современной долины Амура. Об этом свидетельствует наличие более древней, чем средний плейстоцен, скользящей террасы в районе сел Шапуркино и Ново-Бокситовки. К этому времени относится и расчленение пригорками Амура плато базальтов.

Начало боковой эрозии относится к среднему плейстоцену, что находит отражение в наличии террас этого возраста вдоль Амура и некоторых его притоков. В тот же период времени в результате оживления тектонической деятельности в районе сел Пашково и Сторожевое образован приподнятым блок («клютина»), «пропилывание» которого Амуром продолжается до настоящего времени.

## ПОЛЕЗНЫЕ ИСКОПАЕМЫЕ

На территории листа имеются разнообразные полезные ископаемые. Ранее здесь разрабатывались россыпные месторождения золота. Местное значение имеют месторождения гальки и гравия, кирпичных глин, бутового камня и гидравлических добавок. На сопке Болгучан известно непромыщенное ме-

сторождение флюорита, а в районе пос. Шапуркино — Архадо — Болгучанско-

е месторождение бурого угля.

В процессе геологических работ последних лет различными видами обработания обнаружены проявления и вторичные ореолы рассеяния олова, золота, молибдена, вольфрама, ртути, сурьмы, бора, а также проявления каменного угля.

## ГОРИЧИЕ ИСКОПАЕМЫЕ

### Каменный уголь

Кундуровское углепроизводство (16) расположено около ст. Кундурово Юго-Восток породами кундуровской свиты. К югу от ст. Кундуров породы смешены по крупному нарушению субширотного направления. Поверхность сместителя наклонена под углом 50—80° на Юго-Восток.

Проявление изучалось В. Г. Рюхно (1955), по данным которого на глубине 17 м среди углистых аргиллитов залегает пласт угля сложного строения мощностью 2,73 м. Последующие поисковые работы здесь проводились Е. Е. Краснянской (1957Ф), которой вдоль железнодорожного полотна прошлись ряд скважин (№№ 1—6), глубиной от 229 до 471 м. В них на глубине от 58,8 до 256 м вскрыты четвери прослоек угля, мощностью от 0,15 до 0,35 м. Уголь темно-серый до черного с линзами витрена и примесью глинистого материала. Содержание аналитической влаги 11,54—14,22%, зольность сухого топлива и летучие на горючую массу соответственно составляют 4,21—35,77% и 35,67—44,09%. Теплотворная способность угля на горючую массу 7335—7521 ккал/кг. Уголь относится к длиннопламенным или переходным от бурого к каменному.

Промышленная ценность проявления окончательно не установлена. Не исключено нахождение пластов с промышленной характеристикой в самых верхних горизонтах кундуровской свиты в междууречье Мутной и Хингана.

У д. Урчуканское углепроизводство (20) расположено на левобережье р. Урчукана и приурочено также к кундуровской свите. Оно расположено на Юго-Западном крыле Кундуровской брахиинклинали. Пласт угля мощностью 5—12 см, отмечен в обнажении на левобережье р. Урчукана (Силички, 1964Ф), где он залегает среди углистых аргиллитов и алевролитов. По простирации пласт не прослежен. Уголь отличается темно-серой окраской и сильно загрязнен глинистым материалом.

Перспектива нахождения пластов с промышленной характеристикой неясна. Не исключено их наличие на правобережье Урчукана, в верхних горизонтах кундуровской свиты.

## Бурый уголь

Архаро-Болгучанско-месторождение (2) расположено между поселками Шапуркино и Болгучан в поле распространения кивдинской свиты.

Бурый уголь здесь был обнаружен Э. Э. Ангертом (1895 г.). В разное время месторождение изучалось и разведывалось различными организациями. Данные по разведке и поискам приведены в отчетах Р. Т. Рушковского (1959Ф), М. В. Саканцева (1939Ф), М. И. Цветова (1943Ф) и В. Г. Варновского (1954Ф).

Угленосная толща содержит четыре пласта («Великан», «Промежуточный», «Двойной» и «Нижний») и несколько просторов угля. Наиболее крупный из пластов — «Великан» имеет мощность до 187 м и залегает на глубине 0—60 м от поверхности водораздела, стоящим близко к поверхности сазанковской свиты (табл. 3). Остальные пласты залегают значительно глубже (от 300 до 151 м) и имеют мощность от 0,15 до 9,85 м. Пласти обычно характеризуются сложным строением. В кровле их залегают глины, алевролиты, реже песчаники; в почве пластов отмечаются алевролиты и углистые глины. Уголь представлен тремя разностями: полуобластичным (кларен), полуматовым (кларен зольный) и матовым (обогащенный флюен-калиевым эле-

Таблица 3

Таблица химических анализов бурого угля Архаро-Богучанского месторождения (по М. В. Цветову, 1943 г.)

Написание пластика	Расстояние между пластами, м	Мощность пластов, м	Количество прослоев угля	Влага рабочего топлива	Зола абсолютного топлива	Летучие абсолютно сухого топлива	Летучие на горючую массу	Теплотворная способность рабочего топлива	Теплотворная способность на горючую массу
1	"Великан"	—	0,15—18,7	1—10	23,48—50,40	6,65—38,96	31,90—42,11	1642—3532	4897—6476
2	"Промежуточный"	11—30	0,15—3,45	1—2	—	9,43—35,67	29,71—32,65	—	6333—6508
3	"Двойной"	27—33	0,20—9,85	1—5	35,31—43,98	9,66—40,62	20,29—58,07	2660—5240	5490—7570
4	"Нижний"	5—18	0,30—6,50	1—3	12,17—33,0	6,50—31,51	32,43—42,71	—	6684—6808

ментом). Примерно 50% общей массы составляет рыхлый и сажистый уголь. Химические анализы этих углей сведены в табл. 3. Заданные учили на 1 января 1964 г. (Превезенцев, 1964ф) составляют 118,268 тыс. т и отнесены к залежи лансовым.

Гидрологические условия месторождения, в особенности нижних горизонтов, сложные. Глеки белогорской свиты, перекрывающие кивдинскую, свиту, содержат верховодку, с водопротоком в шурфы до 1 м/сек. Более обводненными являются три нижних пласта, содержащих воду в углах и песчаных прослоях. Дебоны колодцев и скважин составляют 0,53—1,36 м/сек. Водоприток в шахту № 1 (у пос. Шапуркино), пройденную в пласте «Двойной», достигал 900 вел/ч. час. а дебоны скважин при самоизливе составляли до 0,35 м/сек.

МЕТАЛИЧЕСКИЕ ИСКОПАЕМЫЕ

**Цветные металлы**

Свинец отмечается только в спектрометролометрических пробах из земноводно-гематитовых образований. На правобережье р. Хингана (29) он установлен в 20 пробах с содержанием до 0,006%. Пространственно определен в свинца призматичной кристаллической свидетельствует.

В верховых ключей Кайала-Карьерного (32) свинец выявлен в 6 пробах с содержанием 0,004—0,008% на плотности 6 кг/м<sup>3</sup>. Вместе со свинцом здесь отмечаются мель и молибден. Ореол приурочен к зоне окварцевания в яшматах солонечной свидетельствует.

В бассейне пади Соболиной (34) свинец установлен в 8 пробах с содержанием 0,004—0,008%. Сопутствующими элементами являются олово, молибден и серебро. Ореол совпадает с площадью распространения пород обманитской свидетельствует.

В виду низких содержаний полезных компонентов все эти ореолы вряд ли могут представлять интерес для поисковых работ.

#### Благородные металлы

Коренных месторождений золота в районе нет. Известны лишь два проявления, выявленные К. А. Казанцевым (1957ф). В штуфах гидротермально-измененных (кальцинированных) липаритов обманитской свиты из верховьев рек Широкой (35) и Федосовой (37) обнаружены единичные зерна золота величиной до 0,6 мм. Вместе с золотом отмечаются киноварь, циркон и ильменит. Эти, хотя и несущественные,рудопроявления довольно интересны, так как дают возможность по-новому трактовать металлогенез кислых эфузивов и связь с ними золота.

Бирский золотоносный район расположен в бассейнах рек Урица и Бары. Тельная часть которых отработана в дореволюционное время. Данные о количестве добывшего золота по многим россыпям не сохранились. В постреволюционное время (до 1941 г.), россыпи разрабатывались Ивановским и Надеждинским прислужами. Геологические исследования здесь проводили М. Н. Доброхотов (1936ф), а позднее Б. П. Кулеш (1947ф), Н. С. Ильина (1949ф), Е. Г. Селезневника (1955ф) и др. Россыпи района подразделяются на два типа: неогеновые подбазальтовые и четвертичные.

Неогеновые подбазальтовые россыпи состоят из подбазальных россыпей.

Сложность которых здесь не превышает 7—8 м. Примером их может служить россыпь клюя Глахского (табл. 4).

Четвертичные россыпи приурочены к надпойменным террасам, руслям и поймам. Они образовались, главным образом, в результате размыва и постепенного заложения золота из подбазальных россыпей. Этот тип россыпей является наиболее распространенным в Бирском районе.

Сугарский район представлен только западной краевой частью. Россыпи приурочены здесь к аллювиальным четвертичным отложениям пади Федоровской. Образование их связывается не только с разрушением коренных исходников, но и с перемывом отложений земской серии. На это указывает зональность неогеновых отложений в пределах центральных частей Сугарского района (Золотов, 1962 г.).

Пробы золота от 632,5 до 852,5. Остальные характеристики по россыпям сведены в табл. 4.

Кроме того, золото в виде единичных знаков встречено по рр. Урилу, Сухуме, Мутной и Хингану.

#### Редкие металлы

Среди полезныхскопаемых этой группы наиболее распространенным является олово. Несмотря на отсутствие коренных рудопроявлений, встречаются почти повсеместно. Он образует значительные площади ореолы, сосредоточенные в северо-восточной части листа и известные под названием Ивановского узла (Глушков, 1959).

В бассейнах рек Биря и Урила (3) касситерит встречается вместе с хромитом в четвертичных аллювиальных отложениях. Промышленных концентратов он не образует. Содержание его в аллювии неравномерное и колеблется от единичных знаков до 1,3 г/м<sup>3</sup>. Наиболее обогащенные отложения, как правило, приурочены к богатым золотоносным пластам. Совместно с касситеритом в виде единичных зерен почти повсеместно присутствует шеелит. Лишь по км. Южному количество его достигает 30 зерен на 0,01 м<sup>3</sup>.

Исследования М. Н. Доброхотова (1936ф) показали, что касситерит в значительных количествах содержится в неогеновых золотоносных отложениях. Содержание его здесь колеблется от знаков до 2,2 г/м<sup>3</sup>, а местами достигает 250 г/м<sup>3</sup>. На основании этого обогащение ореола рассеяния в четвертичных осадках М. Н. Доброхотовым связывалось с перемывом древних рыхлых отложений, содержащих касситерит. Изучение гидротермического состава рыхлых отложений позволило М. Н. Доброхотову установить, что основной состав их происходил с востока, с хребта Малый Хинган.

Представления М. Н. Доброхотова о напластинчатом касситерите в современном заложении в связи с размывом неогеновых рыхлых отложений подтверждаются

Таблица 4

## Характеристика россыпных месторождений территории листа М-52-XXIX

№ п/п	Наименование россыпи и ее номер	Литология золотоносного пласта	Протяженность в км	Мощность золотоносного пласта в м	Содержание золота в мг/м³	Количество добываемого золота в кг	Забалансовые запасы: в числителе количество массы в тыс. м³, в знаменателе — количество металла в кг	Примечание
-------	---------------------------------	--------------------------------	--------------------	-----------------------------------	---------------------------	------------------------------------	--	------------

## Бирский золотоносный район

1	Россыпь кл. Пасхального (10)	Песчано-галечниковые отложения сазанковской свиты	5,0	0,4—1	от 1000—2000 до 10 000—20 000	25,2	—	Россыпь эксплуатировалась в 1948—1949 гг. из штолен. Она полностью не отработана, ввиду сложных горно-технических условий эксплуатации
2	Россыпь кл. Каменец (4)	Песчано-галечные отложения поймы	2,5	3—5	—	Неизвестно	—	Россыпь отработана в дореволюционное время открытыми разрезами
3	Россыпь р. Мал. Биринской ключей Грязного и Южного (5)	Песчано-галечные отложения, I надпойменная терраса	6,0	0,5—1	109	То же На 1/1—62 г. 4230 464	—	Россыпь разрабатывалась до 1948 г.
4	Россыпь кл. Миллионного (6)	Песчано-глинистые отложения поймы	0,6	1,55	—	"	—	Россыпь отработана естественной гидравлической

5	Россыпь кл. Широкого (7)	То же	1,0	0,66	—	—	—	То же
6	Россыпь кл. Игоревского (8)	То же	4	0,4—1,5	160	Неизвестно На 1/1—56 г. 808 135	—	Россыпь эксплуатировалась с 1918 г.
7	Россыпь р. Мал. Урил (11)	Песчано-галечные отложения, I надпойменная терраса	9,0	1—1,5	114	То же На 1/1—56 г. 1431 164	—	Россыпь эксплуатировалась с 1939 г. ямным и гидравлическим способом

## Сутарский золотоносный район

8	Россыпь кл. Наталочки (38)	Песчано-глинистые отложения поймы	2,0	—	—	Неизвестно	—	Россыпь отработана в дореволюционное время. В целиках старых выработок, содержание металла 280 мг/м³.
9	Россыпь кл. Мариинского (39)	То же	2,0	—	3000	То же	—	Россыпь разрабатывалась в дореволюционное время и окончательно отработана в 1940 г.

другим ореолом, расположенным в бассейне верхнего течения р. Мутной (12). Правые притоки реки, размывая базальтовый покров и, вероятно, оставившие следы ними неогеновые отложения, повсеместно содержат касситерит и реже окрашенного касситерита, размером до 0,01 м. К тому же типу россыпей следует отнести, вероятно, ореол рассеяния касситерита, устакновленный в бассейне р. Удуручкана (19). Пространственно он совпадает с покровом базальтов и, вероятно, с подстилающими их неогеновыми отложениями. Содержание касситерита в пределах этого ореола обычно не превышает 10–15 зерен на 0,01 м<sup>3</sup>. Кроме того, в данных пробах по р. Удуручкану отмечается медь.

Касситерит в шлиховых ореолах не одинаков. Преобладает грязно-бурый и грязно-желтый размером 0,2–1 мм в форме неокатанных и слабо окатанных зерен. Вместе с ним часто встречаются хорошо окатанные зерна темно-окрашенного касситерита, размером до 0,01 мм. В связи с этим можно предполагать наличие двух источников поступления касситерита в современные рыхлые неогеновые отложения, давшие мелкий окатанный касситерит и перекристаллизованные базальты рулонирования с более крупным неокатанным касситеритом. В пределах их распространения, в бассейнах рек Грязной (13) и Оточи (15), содержащие касситерита в рустворах не превышают 10 зерен на 0,01 м<sup>3</sup>, при содержании его в отложениях амурской и неянской и нижнеканской полыни от 10–12 зерен на 0,01 м<sup>3</sup>.

Вероятно, к типу перегониевых следует отнести ореолы, выявленные в районе с. Пашково (23) и в верховых ключей Карбонового и Остгойского (31). Содержание касситерита здесь колеблется от единичных до 10–15, реже до 50–150 зерен на 0,01 м<sup>3</sup>. Пространственно эти ореолы связаны с отложениями кундуцкой свиты.

К иному типу следует отнести ореолы рассеяния касситерита, выявленные в бассейне р. Бол. Соломы и приусадебной части пади Бревенчатой (33). Содержание касситерита здесь колеблется от единичных до 10–15, реже до 22 зерен) и киноварь (единичные зерна). Пространственно они приурочены к обманьской и солнечной свитам. Коренного источника касситерита не установлено.

На левом берегу пади Бревенчатой (25) выявлен сходный ореол с содержанием касситерита от 1 до 12 зерен. Он приурочен к окварцованным субфлюидализированным породам, спектральные анализы которых показывают присутствие олова, цинка и меди. Касситерит в шлихах на этом участке подтверждается спектрометаллометрическим оловянным ореолом, расположенным в устье пади Бревенчатой (24). Содержание олова в пробах составляет всего 0,001%.

Выведение на этих участках коренных источников оруднения является задачей детальных поисковых работ. Прочие металлические полезные ископаемые (молибден, ртуть, сурьма) имеют весьма ограниченное распространение на плоскости листа. Молибденовое родопиритовое месторождение установлено Ю. А. Навариным (1960ф) у разреза Отроги Амурской железной дороги (9) в виде выработленности молибдита в контакте жильного аплита с ранне-среднепалеозойскими гранитами. Содержание молибдена в штуфной пробе, по данным спектрального анализа, составляет 0,02%. Ввиду локального характера оруднения, рудопроявление не представляет практического интереса.

Ртуть выявлена К. А. Казанцевым (1955 г.) в верхние руч. Широкого (35) в виде редкой мелкой выработленности киновари в каолинизированых липаритах обманьской свиты. Вместе с киноварью присутствует золото и ильменит. В нижножильных колиственных киноварь содержиться в окварцированных псодомах на Богучанском сурьмяно-флюоритовом месторождении. Содержание ртути по спектральным анализам (Наванинов, 1959ф) составляет 0,001–0,003%. В виде редких зерен киноварь отмечается также в рустворе аллювиального (35) в виде редких зерен киноварь отмечается также в рустворе аллювиального рек Урица, Тармачукана, Мутной, Бол. Соломы и т. д.

Сурьма содержится в руслах Богучанского сурьмяно-флюоритового месторождения (см. следующий раздел) и образует небольшое рудопроявление

в верховье р. Грязной (14). Последнее выявлено Р. Ю. Эпштейном в 1940 г. Участок склонов слюдяными сланцами урильской свиты, среди которых залягают две близлежащие кварцевые жилы, мощностью до 1 м. Направление жил меридиональное. Они содержат мелкую выработленность и прожилки (до 1 м) агримонита.

Рудопроявление не изучалось.

## НЕМЕТАЛЛИЧЕСКИЕ ИСКОПАЕМЫЕ

### Химическое сырье

Флюорит с 1894 г. известен на Богучанском месторождении (22), расположеннном в 6 км севернее с. Салибово. В 1913–1916 гг. месторождение изучалось В. П. Ренгардтом и С. В. Константным. Детальное разведение его проводили Р. Ю. Эпштейн, М. М. Ветчинкин (1940–1941 гг.) и В. Я. Рябков (1958 г.). Участок месторождения сложен липаритами, туфоконгломератами и туфами богучанской и кундуцкой свит. Оруднение приурочено к разлому, перпендикулярному направлению, протяженностью около 500 м, который контро- лируется зоной окремненных и бреекриканных пород. Мощность 5–20 м. К этой зоне приурочены жилы флюорита мощностью от нескольких миллиметров до 1,3 м, образующие главную рудную зону. Ширина ее 1,5 м на исходе до 10–13 м на севере месторождения. Выклинивание рудной зоны про- исходит на глубине 10–12 м. Вне главной рудной зоны отмечаются лишь единичные жилы и прожилки флюорита мощностью до 16 см. В юго-восточной зоне окремнения меридионального простирания длиной 65 м и шириной до 5 м. В пределах ее вскрыто всего три жилы флюорита мощностью 5–12 см. Содержание основных компонентов в руде следующее: CaF<sub>2</sub>—87,03%; SiO<sub>2</sub>—8,12%; Sb<sub>2</sub>S<sub>3</sub>—0,03–0,07%. Наряду с флюоритом в рудной зоне отме- чаются редкие жилы и прожилки сурьмяного блеска мощностью до 18 см. Запасы флюорита (В. Я. Рябков, 1959 г.) составляют 840 т. Перспективы на увеличение запасов не имеется.

Специализированные поиски флюорита неоднократно проводились в пределах остальной части листа (Р. Ю. Эпштейн, 1939 г.; М. М. Ветчинкин, Синникский, 1964ф) спектрометаллометрическим опробованием были установлены участки с повышенным содержанием фтора. В приусадебной части пади Бревенчатой (26), на плоскости около 1 км<sup>2</sup>, оконтурен ореол рассеяния фтора с содержанием 0,004–0,008%. Ореол приурочен к окварцованным породам обманьской свиты и пространственно совпадает со спектрометаллометрическим ореолом олова.

Второй ореол рассеяния фтора (28) выявлен на правобережье р. Хингана, в 1 км к востоку от пос. Есауловки. Содержание фтора в пробах 0,04–0,06%, максимально — 0,3%. Пространственно ореол совпадает с площастью разви- тия город солнечной свиты и с ореолом рассеяния свинца. Флюорит, как известно, ассоциирует с оловом в руслах Хинганского месторождения. В связи с этим, изучение ореолов фтора представляет значительный интерес.

## СТРОИТЕЛЬНЫЕ МАТЕРИАЛЫ

К этой группе отнесены месторождения строительного и бутового камня, гидравлических добавок к цементу, глинистых и обломочных пород.

### Изваренные породы

#### Кварцевые порфирлы

Кундуцкое месторождение липаритов (17) расположено в 1,5–3 км севернее ст. Кундуц и приурочено к породам богучанской свиты. На месторождении проведена предварительная разведка. Сопротивление липаритов удару на копре ПМ составляет 63, водопоглощение — 2,55%; породы морозостойкие. Липариты пригодны для получения путевого щебни, удовлет-

воряющего требования ГОСТ 7392—55 (Марута, 1959ф, Шапошников, 1961ф). Запасы липаритов, исходя из площаи их распространения, представляются крупными. Месторождение не эксплуатируется.

#### Базальты

Богучанско м е с т о р о ж д е н и е б а з а л т о в (1) находится в 7 км северо-западнее ст. Богучан. Месторождение не разведано. Оно представлено плиоцен-раннечетвертичными базальтами серо-зеленого цвета. ВСР сухого камня составляет 1500—1645 кг/см<sup>2</sup>, водопоглощение — 0,15—0,42%, износ в барабане Девала — 4,3—12,0% (Марута, 1959ф; Шапошников, 1961ф). Запасы не подсчитаны. Месторождение эксплуатируется Дальневосточной железной дорогой для строительства и укрепления насыпей железнодорожных путей.

#### Перлиты и вулканические туфы

В спу ч е н ы й п е р л и т . Для производства вспученного перлита пригодны обсидианы месторождения «Паль Фелосека» (36), расположенного в юго-восточной части листа. Оно открыто и предварительно разведано Л. М. Лукашевым и Л. И. Лукашевой в 1961 г. Месторождение сложено фельзолитами, обсидианами и туфами липаритовых обманниковых свит. Обсидианы залегают в виде линзообразного тела субмеридионального простирания. Обсидианы разновидностями: обсидиан-порфирами и полосчатыми обсидианами. Результаты лабораторных испытаний на вспучивание, водопоглощение и морозостойкость позволяют заключить, что после вспучивания при температуре 1280—1350° с выдержкой 2—3 мин они образуют материал с замкнутой пористой структурой и насыщенным объемным весом марки «500» и «700». Козфффицент вспучивания колеблется в пределах 1,31—2,86. Вулканические стекла пали Федосеихи удовлетворяют всем требованиям ВГУ-01-59 (Стеклофиги) и могут быть рекомендованы как сырье для получения легковесного заполнителя. Запасы вулканических стекол месторождения «Паль Фелосека» по категории С<sub>2</sub> составляют 902 тыс. м<sup>3</sup> (Лукашев, 1962ф). Объем вскрытых пород равен 582,5 тыс. м<sup>3</sup>. Запасы полезного ископаемого на месторождении ограничены. Перспектив пророста запасов нет. Месторождение не эксплуатируется.

#### Вулканические туфы

Г и д р а в л и ч е с к и е д о б а в к и к цементу, необходимые Т еллоэзерскому цементному заводу при производстве пудцеланов и портланд-цемента, выявлены в породах солонечной свиты. Это Ядринское месторождение туфов (30). Оно расположено в 1,5 км западнее пос. Ядрин. Месторождение открыто В. М. Молчановым и С. В. Богатыревым (1940) и разведывалось Б. К. Дьячковым (1950) и Б. И. Бурда (1955—1957). Наиболее активными породами являются витролакстические туфы и витролипариты, мощностью 10—17 м. Мощность вскрыши 0,2—1,8 м. Активность пород (в мс CaO) колеблется от 32,47 до 170,41. Средний химический состав их следующий: SiO<sub>2</sub>—67,04—73,56%, FeO—1,64—3,15%, Al<sub>2</sub>O<sub>3</sub>—12,42—14,68%, CaO—0,43—1,68%, MgO—0,24—0,95%, P<sub>2</sub>O<sub>5</sub>—1,6—6,22%, H<sub>2</sub>O—1,77—6,35%.

Данные химического анализа и технологических испытаний пород в смеси с портланд-цементом Теплоэзерского завода, а также испытаний на активность поглощения ими окиси кальция показывают, что они вполне удовлетворяют требованиям промышленности и могут быть использованы в качестве гидравлических добавок в количестве 30—40% для пудцелановых портланд-цементов марки «400» и «500».

Запасы активных пород на 1/1—1965 г., утвержденные ВКЗ (7915, 8045, 1953 г.), составляют: а) балансовые по категории А<sub>2</sub> — 109 тыс. т, по кате-

гории В — 804 тыс. т., б) забалансовые в зоне отчуждения железной дороги по категориям А+В — 110 тыс. т. Месторождение эксплуатируется с 1954 г.

#### Глинистые породы

##### Глины кирпичные

Е с а у л о в с к о е м е с т о р о ж д е н и е с у г л и н к о в (21) расположено в 0,2—0,3 км южнее пос. Есауловки. Оно приурочено к позднечетвертичным аллювиальным отложениям и представлено суглинками мощностью от 1,1 до 9,2 м<sup>3</sup> в среднем 6,35 м. Средняя мощность вскрыши равна 0,11 м (Шокор, 1953ф; Шапошников, 1961ф). Гидрогеологические условия благоприятные.

Гранулометрический состав суглинков следующий: песчаных фракций от 8 до 41%; пильватых от 41,1 до 70,0% и глинистых от 13,6 до 35,1%. По

пластичности суглинки относятся к II и I классам (по Аттербергу) с чистотой пластичности от 11,7 до 21,1%. Суглинки содержат SiO<sub>2</sub>—63,88—68,22%, Fe<sub>2</sub>O<sub>3</sub>—3,66—5,07%, CaO—0,71—1,70%, MgO—0,40—1,44%, SO<sub>3</sub>—0,01—0,02%, пл. пл.—5,25—9,32%.

Полузаводские испытания производились как из чистой смеси двух разностей суглинников, так и с добавлением отглашивающих добавок. По данным этих испытаний установлено, что суглинки пригодны для изготовления:

4) полнотелого кирпича марки «25», удовлетворяющего требованиям ГОСТ 530—41; б) дырчатого кирпича марки «100» удовлетворяющего требованиям ГОСТ 6316—52; в) блоков марки «100», удовлетворяющих требованиям ГОСТ 6 328—52; г) гладкой ленточной черепицы, удовлетворяющей требованиям ГОСТ 1808—49, пункт 9.

Разведанные запасы суглинков на 1/1 1864 г., утвержденные ДВ ТКЗ (1954 г.) составляют: по категории А<sub>2</sub> — 321 тыс. м<sup>3</sup>, В — 702 тыс. м<sup>3</sup>, С<sub>1</sub> — 724 тыс. м<sup>3</sup>. Перспективные запасы по категории С<sub>2</sub> определены в 2609 тыс. м<sup>3</sup> (Шапошников, 1961ф). Объем вскрытых пород 34 тыс. м<sup>3</sup>. Месторождение не эксплуатируется.

#### Обломочные породы

##### Галька и гравий

К у н д у р с к о е м е с т о р о ж д е н и е г р а в и я (18) расположено в 2—3 км юго-восточнее ст. Кундура. Месторождение состоит из двух участков: Кундуровского и Мутнинского.

Кундуровский участок был разведен Дальгипротрансом в 1959 г. Он приурочен к позднечетвертичным аллювиальным отложениям р. Мутной мощностью до 5 м (Шапошников, 1961ф). Средняя мощность вскрыши 1,06 м.

Песчано-гравийные отложения характеризуются следующим гранулометрическим составом: фракции крупнее 60 мм составляют 1—2%, 60—3 мм — 54,63%, 3—1 мм — 16—17%, 1—0,5 мм — 6—7%, 0,5—0,1 мм — 7—10%, менее 0,1 мм — 3—7%, в том числе глина — 0,29—0,36%. Содержание сильных пород в гравии 0,24—0,65%. Гранулометрический состав песка-отсева следующий: фракции 3—0,5 мм от 51 до 65%, преимущественно 62—65%, залегающие пылью (менее 0,1 мм) — 6—9%, в том числе глина — 0,54—1,78%. Гравийно-глыбовый материал отвечает требованиям ГОСТа 7394—55 на карьерный гравий. Запасы его на 1/1 1964 г. составляют: по категории А — 558 тыс. т, В — 2774 тыс. т, С<sub>1</sub> — 1078 тыс. т. Месторождение разрабатывалось с 1933 по 1940 г.

Мутнинский участок также приурочен к позднечетвертичным отложениям р. Мутной. Гравий и крупозернистый песок имеет мощность от 1,1 до 4,15 м, в среднем 2,6 м. Песчано-глыбовые породы являются мелкозернистые пески, а перекрывающими — плотные глины, мощности в среднем 1,4 м. Гранулометрический состав гравия характеризуется содержанием фракций: более

1 мм — 72,92%, более 4 мм — 50—77%. Загрязненность глинистыми частичками не превышает 5,2%. Крупнозернистые пески содержат фракции более 1 мм — 64,80%, при загрязнении глинистыми фракциями не более 6%. В качественном отношении гравий удовлетворяет ТУ МПС на гравийный балласт II сорта.

Запасы песчано-гравийной смеси, утвержденные ВКЭ (1942 г.), составляют по категории А2 — 427 тыс. м<sup>3</sup>. Гравийно-песчаные отложения в нижней части разреза обводнены. Месторождение не эксплуатируется.

Есауловское месторождение сечено-гравийных отложений расположено в 0,5 км от пос. Есауловка. Оно приурочено к II надпойменной террасе р. Хингана. Песчано-гравийные отложения с содержанием гравия от 50 до 72% и валунов до 40% имеют среднюю мощность 2,20 м, монолиты вскрыши в среднем составляют 0,90 м. Гранулометрический состав песчано-гравийных отложений следующий. Фракции крупнее 60 мм — от 3 до 10%, 60—35 мм — от 35 до 72%, 3—05 мм — от 19 до 42%, 0,5—0,10 мм — от 6 до 15%, мельче 0,1 от 2 до 6%, в том числе глины от 0,35 до 1,40%. Песчано-гравийная смесь отвечает ТУ МПС на песчаный балласт.

Запасы песчано-гравийной смеси составляют по категории С2 — 3200 тыс. м<sup>3</sup>. Объем вскрыши равен 1300 тыс. м<sup>3</sup>. Запасы могут быть увеличены за счет расширения площа на восток и на запад (Маруга, 1959ф).

Кроме описанных месторождений, на площах листа имеются карьеры и каменоломни, которые используются эпизодически местным населением и различными строительными организациями для добывчи строиматериалов. Карьеры, приуроченные к отложению белогорской, чаганской, кудукурской, кудукурской, четырехнадпойменной осадкам, расположаются в селах Касаткино, Пашково, на ст. Урила, Рани, Болуучан, вдоль дороги Облучье — Пашково и Ново-Саргесевка — Архара. Каменоломни в позднепалеозойских гранитах и раннемезовых эфузивах известны в устье кр. Караберного (на левобережье р. Урила) и деревне пали Широкой (верховье р. Бол. Солоты). Промышленная ценность и перспективность многих из описанных полезных ископаемых, несмотря на значительную детальность работ в пределах Широкой, яслятся далеко не полностью выясненными. Это в первую очередь относится к каменному углю, золоту и олову. Малый объем поисково-разведочных работ на уголь не позволяет окончательно решить вопрос о перспективности отложений кундуцкой свиты. Нам представляется интересным междуречье Мутной и Хингана. Здесь на небольших глубинах, в верхних горизонтах свиты могут быть обнаружены пласти каменного угля рабочей мощности.

Интересным является вопрос о золотоносности площа. Присутствие золота в отложениях сазанковской свиты в Ырикском золотоносном районе позволяет предполагать наличие, кроме россыпи кр. Пашального, других россыпей под покровами базальтов. Для решения вопроса о существовании таких россыпей следует провести специальные работы. Это интересно и потому, что здесь вместе с золотом присутствуют кассiterит и пирелит. Выявление четвертичных аллювиальных отложений мало вредят.

Значительная оптимальность Хингано-Буреинского противоположного района нахождение значительных оловянных месторождений, вскрытых эрозией. Вместе с тем, не исключено лож положительно оценивать эту территорию на нахождение аллювиальных оловянных месторождений, вскрытых эрозией. Вместе с тем, не исключено наличие в этом прогнутых рудных тел, на что Косакину указывает беловийский геологический спектральный профиль, рассеянный шлиховые и спектрально-металлургические вторичные оросы. Их можно связывать с разрывом первичных ореолов рассеяния олова, формирующихся вблизи еще не вскрытых эрозийных рудных тел. На возможность обнаружения крупного оловорудного месторождения в верховьях р. Удурукана, под толщей базальтов, указывал М. И. Ильин. Основанием для этого служит наличие саблокстанных зерен в аллювии р. Удурукана. Автор разделяет мнение М. И. Ильиной, но поиски месторождения здесь связаны с большими трудностями, ибо мощность базальтов составляет 100 м и более.

Из неметаллических полезных ископаемых заслуживает внимания поиск оптического флюорита и флюорита для плавки. Эти работы рекомендуются начать на Богучанском флюоритовом месторождении. В отношении перспектив на разнообразные строительные материалы можно утверждать, что район располагает практическими неограниченными возможностями. При надобности, без больших затрат, могут быть освоены песчано-галечные отложения паганской, частично кудукурской, белогорской свит и четвертичных осадков. Бутовый камень вблизи населенных пунктов может быть получен из эфузивов, метаморфических пород и гранитоидов. Владины пока являются неопределенными, так как в пределах выявленного здесь Касаткинского минимума не пробурено ни одной глубокой скважины. Детальное изучение владин, расположенных западнее территории рассмотриваемого листа (Белогорской, Михайловской и других) пока не привело к открытию нефтяных или газовых месторождений. Вследствие этого нет оснований высоко оценивать перспективы находки крупных залежек нефти и газа в пределах Касаткинского минимума.

## ПОДЗЕМНЫЕ ВОДЫ

Подземные воды района изучены слабо. Специальные гидрогеологические работы здесь проводились только в районе Архаро-Богучанского буроугольного месторождения. Кроме того, с целью водоснабжения пробурены скважины в селах Ново-Покровке, Сагибово, Атамановке, Пашково, Сторожевом, Шапуркино и на станицах Богучан, Урила, Кундулур и Ядрено.

Для территории листа имеется схематическая гидрогеологическая карта масштаба 1:500 000, составленная Е. Т. Михалиной (1958ф). Она использует при составлении настоящего раздела.

По условиям накопления, дрениации и разгрузки подземных вод на исследованной территории выделяется восемь водоснабженных горизонтов и комплексов.

Водоносный горизонт аллювиальных четвертичных отложений ( $Q_{IV}^I$ ,  $Q_{IV}^{II}$ ,  $Q_{IV}^{III}$ ,  $Q_{IV}^{IV}$ ) приурочен к низкой и высоким поймам I, II и III надпойменных террасам Амура и его притоков. Водоносные породы представляют песками различной зернистости и гравийно-галечным отложениям; последние тяготеют к нижним горизонтам разреза. В пределах развития верхнечетвертичных отложений II террасы верхняя и средняя часть разреза представлена глинами мощностью до 10 м. Водоносный горизонт характеризуется различной мощностью. В долине Амура она составляет 15—20 м, а по его притокам 3—5 м. Воды аллювиальных четвертичных отложений пойм столово-горловые, свободные, с местным напором в пределах развития III террасы. Водобонность горизонта колеблется в незначительных пределах. Дебиты колодцев составляют 0,37—0,83 л/сек при понижении 0,1—0,34 м, дебиты скважин 0,61—2,28 л/сек при понижении 0,51—0,81 л/сек.

По химическому составу воды гидрокарбонатные сподланного катионного состава с минерализацией 60—204 мг/л. Питание вод атмосферное и за счет подпитывающих отложений.

Водоносный горизонт используется для хозяйствственно-питьевого водоснабжения сел Касаткино, Сагибово и Пашково.

Водоносный комплекс в плиоцен-нижнечетвертичных базальтах ( $B(Na^+ + Q)$ ) развит в бассейнах рек Хингана, Мутной и Урила. В геоморфологическом отношении базальты слагают водоразделы, возвышающиеся над долинами на 150 м. В верхней части они трещиноватые и пористые с широкими и столбчатой отдельностью. Ширина трещин 1—2 см. В верхней зоне развиты трещинные грунтовые воды, глубина залегания которых колеблется от одного до 20—50 м. Водобонность базальтов невелика. Дебиты родников колеблются от 0,2 до 2 л/сек. По химическому составу воды гидрокарбонатные смешанного катионного состава с минерализацией 40—50 мг/л. Питание водного горизонта базальтов осуществляется за счет атмосферных осадков.

*Бодопсный горизонт плиоцен-нижнечетвертичных отложений белогорской свиты ( $N_{2+}Q_1b$ ) и миоценовых отложений сазановской свиты ( $N_{1+2}$ ) пользуется неизначительным распространением. Он отмечается в бассейне среднего и верхнего течения р. Урила и в районе сел Сторожевого и Башурова. Состав водомешающих пород довольно однообразен. Это преимущественно разнозернистые пески с гравием и галькой, значительно реже встречаются глины. В нижних частях разреза в песках отмечается значительная примесь каолина.*

Глубина залегания грунтовых вод не постоянная и колеблется от 5 м (в долинах) до 30 м (на водоразделах). Воды глаштаво-половые свободные. Растительность восточного горизонта изменилась с течением времени.

сопредельных к западу территориях (Юдин, 1963ф). По химическому составу воды гидрокарбонатные кальциевые и кальце-

во-натриевые с минерализацией 60–200 мг/л. Питание водоносного горизонта осуществляется за счет атмосферных осадков.

( $Gr_2 + Pg_{kv}$ ) распространены только в северо-западной части листа. Водовмещающие породы представлены песками и углем. Наличие в разрезе свиты

прослоев глин обуславливает разделение водоносного комплекса на несколько горизонтов. Наряду с безнапорными, здесь присутствуют напорные, иногда самоизливающиеся воды. Глубина уровня подземных вод колеблется от 1,5 до 30 м.

жин составляют 0,53—1,36 *м/сек* при понижениях 0,5—1,5 м. Длительность скважин при самозливе составляет 0,35 *мин*.

*Водоносный комплекс верхнемеловых отложений цаганской свиты (Срэг) распространен в бассейнах рек Урица, Мутной и Хингана.*

Бодовмешающиеся пещанники и конгломераты песчаниковыми, галечниками, суглинками, гравелитами, алевролитами и аргиллитами, являющиеся в отмежеванных участках пещанками. В разрезе Чаганской свиты имеются 50% глины, алевролиты и аргиллиты, являющиеся в отмежеванными участками пещанками.

дупортами и разделяющие водоносный комплекс на несколько гидравлических связанных водоносных горизонтов. Глубина залегания последних колеблется

от 40 до 90 м. Водообильность пород неправномерная. Деситы родников изменяются от 0,1 до 3 л/сек. Дебет скважин в с. Атамановке составляет 0,98 л/сек при понижении 0,2 м. На определенной территории с севера (Юдин, 1963ф) дебиты скважин в отложений Цагаянской свиты равны 1,8—3,3 л/сек при понижении 3,5—13,5 м. Судя по составу пород, наиболее водо-

По химическому составу воды гидрокарбонатные, смешанного катионного состава с минерализацией 100—200, рече до 450 мг/л. Питание водоносного комплекса осуществляется за счет инфильтрации атмосферных осадков и за счет вод перекрывающих отложений.

**Подземные воды зоны выветривания низкого и верхнегорловых эфузивов основного, среднего и кислого состава ( $C_{Grf}$ ,  $C_{Gis}$ , Слов,  $C_{Ig}$ ) и вогнене-меловых отложений кундуцкой свиты ( $C_{Igk}$ ). Эти воды изучены слабо, хотя они являются стоком плоское распространение. Водовмещающими породами являются базальты, андезиты, порфириты, их туфы, туфоконгломераты, гравелиты, песчаники, угли, реже песчано-галечные отложения. Различные типы литологического состава обусловлены наличием пластово-поровых и пластово-трещинных вод в отложениях кундуцкой свиты и трещинно-грунтовых вод в зоне выветривания эфузивов. Первые характеризуются родниками с лебединым от 0,15 до 2 л/сек, вторые — 0,01—0,5 л/сек. Удельный дебит скважин.**

JOURNAL OF PRACTICAL

Опубликовано

прорушенных в эфузивах (села Пашково и Сторожевое) составил 0,12—0,28 л/сек. В пределах развития кундуровой свиты возможно наличие напорных вод. На сопротивленной с запада территории дебиты скважин при самоизливе из аналогичных отложений, составили 0,25 л/сек (Юдиль, 1963ф). По химическому составу воды гидрокарбонатные, смешанные кальциевого и магниевого гидрокарбонатов, сменяющиеся кальциевыми. Гидрокарбонаты их осущестляются преимущественно за счет атмосферных осадков.

*Водоносный комплекс нижнепретворской метаморфических образований Ульяновской, Оренбургской и Уральской свит* ( $P_{\text{t1c}}$ ,  $P_{\text{t1d}}$ ,  $P_{\text{t1r}}$ ) имеет ограниченное распространение. Водоносно-минерализующие породы представлены кристаллическими сланцами, амфиболитами и гнейсами.

Водоносный комплекс приурочен к поверхностной зоне трещиноватых пород Глубокой залегания его колеблется от 1—5 м в долинах рек, до 50—70 м на водоразделах. Десяти родников, характеризующих этот комплекс, составляет 0,01—0,84 л/сек.

По химическому составу воды гидрокарбонатные смешанные катионного состава с минерализацией 15—36 мг/л. Питание водоносного комплекса атмосферные воды зоны выветривания радиогеологических, ранне-среднепретворских и позднегеологических граничных ( $\text{U}_{\text{Pz1}}$ ,  $\text{vPz1}$ ,  $\text{vPz1-2}$ ,  $\text{U}_{\text{Pz2}}$ ) распространены в северо-восточной и юго-восточной части плато. Водоемы зоне породы представлены гранитами, реже дистригитами и габбро-диоритами. Глубина залегания подземных вод колеблется от 1—5 м в мягких частях склонов долин до 30—50 м на водоразделах. Дебиты родников составляют 0,05—1 л/сек.

По химическому составу воды гидрокарбонатные смешанные катионного состава с минерализацией 30—100 мг/л. Питание вод преимущественно атмосферные.

В заключение необходимо отметить, что по физическим и химическим свойствам все воды района пригодны для водоснабжения. Наиболее перспективными для целей водоснабжения являются водоносные горизонты четвертичных аллювиальных отложений и палеозойской свиты.

**Л И Т Е Р А Т У РА**

*Опубликованная*

Б а й к о в с к а я Т. Н. Палеонтологическая флора Зе-Буринской равнины. «Вопросы палеонтологии», т. 1, ЛДУ, палеонтологическая лаборатория. 1950.

Б а й к о в с к а я Т. Н. Верхнемеловые флоры северной Азии. «Палеоботаника», т. II; Пр. Богдана ин-та АН ССР, серия 8. 1956.

Б о р с у к М. О. Исследование флоры третичных и верхнемеловых отложений Приамурья и стратиграфия их на основе палеоботанических данных. ДАН СССР, Глав. упр. геол. фондов, вып. 6. 1948.

В а с и л'ев а В. В. Геологическая карта СССР масштаба 1 : 200 000. Част. М-52-XVIII. Объяснительная записка. 1960.

Г л у ш к о в А. П. Геологическая карта Малого Хингана масштаба 1 : 500 000. Объяснительная записка. 1959.

З о л о т о в М. Г. и др. Геологическая карта СССР масштаба 1 : 200 000. Част. М-52-XVII. Объяснительная записка. 1960.

Ичиков М. И. Освящительная записка. 1959.  
Ичиков М. И. о пространственном размещении проявлений олово-  
носности в южной части Дальнего Востока. Материалы ВСЕГЕИ, серия по-  
тези. искол., сб. 5, 1949.

и К. С. Орловым. Основные характеристики геологии и генезиса некоторых оловянных месторождений Малого Чингана. Сб. ВСЕГЕИ «Геология оловонос-  
ых районов Дальнего Востока», 1952.

3ak. 05520;

- полезным ископаемым Восточной Сибири и Дальнего Востока). Материалы ВСЕГЕИ, новая серия, вып. 6. 1956.
- Капила А. А., Кошман М. М. Новые данные по фитостратиграфии меловых отложений хребта Малый Хинган. Сб. «Геология, геоморфология и полезные ископаемые Приамурья», 1961.
- Кашковский В. А. Геологическая карта СССР масштаба 1 : 200 000. Лист М-52-ХХIV. Объяснительная записка. 1962.
- Красный Л. И. Основные вопросы тектоники Хабаровского края и Амурской области. ВСЕГЕИ, 1960.
- Криштофорович А. Н. К истории третичного периода Дальнего Востока. Материалы ВСЕГЕИ, общая серия, сб. 7. 1946.
- Музылев С. А. Государственная геологическая карта СССР. Лист М-52 (Благовещенск). Объяснительная записка. 1960.
- Онихиимовский В. В. Геотектоническое районирование южной части Хабаровского края, Амурской и Сахалинской областей. Тр. Дальневосточного филиала АН СССР, серия геол., т. 4. 1960.
- Смирнов Н. Ф. Геологическая карта СССР масштаба 1 : 200 000. Лист М-53-ХIX. Объяснительная записка. 1960.
- Чемеков Ю. Ф. Четвертичная система Хабаровского края и Амурской области. Материалы ВСЕГЕИ, новая серия «Материалы по четвертичной геологии и геоморфологии СССР», вып. 2, 1959.
- Эйриш Л. В. Геологическая карта СССР масштаба 1 : 200 000. Лист М-52-ХХХV. Объяснительная записка. 1964.
- Эйриш Л. В. Межформационные гранитные интрузии Буреинского массива. Тр. Сиб. отд. АН СССР, 1964.

#### Фондообраз\*

- Байковская Т. Н. Стратиграфия и флора верхнемеловой (шаганской) толщи Зе-Буреинской равнины. 1946.
- Байковская Т. Н. Стратиграфия и флора Райчинского буровугольного бассейна в Амурской области. 1947.
- Баскакова Г. Г. Хинганско-месторождение базальтов (отчет о детальных геологоразведочных работах, проведенных базальтовой партией в Облученском районе ЕАО в 1962 г.). 1963.
- Бурда Б. И. и др. Отчет о результатах поисково-съемочных работ м-ба 1 : 50 000 на территории листа М-52-107-В (бассейн р. Хинган). 1963.
- Варнавский В. Г. Отчет о поисково-разведочных работах, проведенных в районе Архаро-Богучанского буровугольного месторождения. 1954.
- Веденикин Я. С. Материалы и сравнительная характеристика меловых вулканогенных образований Малого Хингана и северного Сихотэ-Алиня. 1961.
- Венус Б. Г. История развития релефа Амуро-Зейской и Средне-Амурской депрессий Дальнего Востока. (Диссертация.)
- Вокресенский С. С. Отчет о геолого-геоморфологической съемке м-ба 1 : 50 000 на листах М-52-110-А-Г, -В-а, б. 1962.
- Вокресенский С. С. и др. Отчет о геолого-геоморфологической съемке на листах М-52-130-А, -118-Г, -119-В, Г. 1964.
- Голубев Л. В. Отчет о результатах геолого-разведочных работ масштаба 1 : 50 000, проведенных в Амурской области Архаринским отрядом в 1961—1962 гг. 1962.
- Кончакова А. И. Каталог буровых скважин на воду Амурской области. 1959.
- Кошман Г. Н., Сенкевич В. П. Отчет о поисково-съемочных работах в м-бе 1 : 50 000, проведенных в бассейнах рек Кульдур, Олоно, Джа-линда. Столбачи в 1954 г. 1955.
- Кошман М. М. Фитостратиграфическая характеристика меловых вулканогенно-осадочных образований Малого Хингана (отчет палеонтологического кайнита за 1961—1962 гг.).

\* Хранится в фондах Дальневосточного геологического управления.

- Краснянская Е. Е. Геологическое строение северо-восточной части листа М-52-ХХIX (отчет о работах Пашковской поисково-съемочной партии № 20 за 1956 г.).
- Молостовский Э. А. Геологическое строение бассейна среднего течения р. Буреи. 1958.
- Майеранов В. С. Отчет о результатах гравиметрической съемки масштаба 1 : 200 000, проведенной Буреинским отрядом в Амуро-Зейском пр-ти в 1961 г. 1962.
- Михалина Е. Т. Гидрогеологический очерк бассейна среднего течения р. Амур (листы М-52-Б и М-52-Г). 1958.
- Наварнов Ю. А. Геологическое строение юго-западной части листа М-52-ХХIX (Отчет о работах Пашковской поисково-съемочной партии за 1958 г.).
- Науарнов Ю. А. Отчет о результатах геолого-съемочных и контрольно-увязочных работ на листе М-52-ХХIX в 1959 г. 1960.
- Очредник В. Е. и др. Отчет о результатах геофизических работ в Хабаровском крае и Амурской области, выполненных в 1958—1959 гг.
- Палагин А. В. и др. Отчет о результатах поисково-съемочных работ масштаба 1 : 50 000 на территории листов М-52-118-Б-Г, -А-а, б. в. 1963.
- Попов И. П. и др. Отчет о результатах геолого-поисковых работ на бурый уголь на междууречье Урил-Архара. 1964.
- Седельников Е. Г. Отчет о геолого-поисковых работах на оловянном бассейне рек Биря и Урила, проведенных в 1954 г. (Ивановская партия № 600).
- Синикий В. Ф. и др. Отчет о результатах поисково-съемочных работ масштаба 1 : 50 000 на территории листов М-52-106-Г-; 113-А-Г, Б-а, б. в. (Соловинская партия). 1964.
- Симонова В. А. Отчет о геофизических работах Сугарской партии в 1955 г.
- Чемеков Ю. Ф. Стратиграфия четвертичных отложений и геоморфология Приамурья и смежных территорий. 1961.
- Юдин А. И. Геологическая карта СССР масштаба 1 : 200 000. Лист М-52-ХХII. Объяснительная записка. 1963.

ПРИЛОЖЕНИЕ I

**СПИСОК МАТЕРИАЛОВ, ИСПОЛЬЗОВАННЫХ ДЛЯ СОСТАВЛЕНИЯ  
КАРТЫ ПОЛЕЗНЫХ ИСКОПАЕМЫХ**

№ п/п	Фамилия и инициалы автора	Название работы	Год составле- ния или издания	Продолжение прил. I				
				№ п/п	Фамилия и инициалы автора	Название работы	Год составле- ния или издания	Местонахождение материала, или его фондов, № или место издания
1	Б/автора	Геологическая часть го- ловного отчета за 1955 г.	1955	9	Глушков А. П.	Геологическая карта Малого Хингана масшта- бом 1:500 000 (полезные ископаемые)	1959	Фонды ДВГУ № 08201
2	Б/автора	Баланс запасов полез- ных ископаемых СССР на 1/1 — 1956 г. Золото	1956	10	Данко Е. К.	Геологический очерк Хинганского рудного района (с геологической картой и картой полез- ных ископаемых масшта- бом 1:500 000 и паспор- тами месторождений)	1951	Фонды ДВГУ № 05361
3	Б/автора	Баланс запасов полез- ных ископаемых СССР на 1/1 — 1962 г. Золото	1962	11	Доброхотов М. Н., Мали- новский В. Н.	Отчет о работах по изучению оловоносности района Бирского Приси- кового управления (Ма- лый Хинган — бассейны рек Б. Бирры, Талакана, Урила)	1936	Фонды ДВГУ № 03085
4	Б/автора	Баланс запасов неме- таллических полезных ис- копаемых на 1/1 — 1964 г.	1964	12	Довгалев В. М.	Геология месторожде- ний угля Амурской об- ласти	1960	Фонды ДВГУ № 08427
5	Б/автора	Баланс запасов неме- таллических полезных ис- копаемых на 1/1 — 1965 г. (1-ая очередь).	1965	13	Дробышев- ский В. И.	Объяснительная запис- ка к карте золотоносно- сти Сугарского промис- кового управления	1957	Фонды ДВГУ № 06901
6	Башевич Л. Ф.	Месторождение сур- мяного блеска на горе Богучан.	1894	14	Дьяков Б. К.	Ядринское месторож- дение вулканических гид- ротермальных дайков (от- чет о геологоразведоч- ных работах в 1950 г.)	1951	Фонды ДВГУ № 03969
7	Бурлэ Б. И.	Отчет о поисковых и разведочных работах па активные минеральные лобовки, проведенные Ядринской партией в 1955—1957 гг. в северо- западной части Малого Хингана.	Фонды ДВГУ № 07002	15	Еремеев П. И., Воскресен- ский С. П.	Отчет о геолого-поис- ковых работах на нефть в Архаринском районе Хабаровского края	1940	Фонды ДВГУ № 01605
8	Варнавский В. Г.	Отчет о поисково-раз- ведочных работах, прове- денных в районе Архаро- Богучанского буроуголь- ного месторождения	1954	16	Ильина Н. С.	Типы россыпных ме- сторождений золота на Малом Хингане и их по- ложение в стратиграфи- ческом разрезе	1949	Фонды ДВГУ № 06993

*Продолжение прил. №. I*

*Продолжение прил. №. I*

№ п/п	Фамилия и инициалы автора	Название работы	Год составле- ния или издания	<i>Продолжение прил. №. I</i>					
				№ п/п	Фамилия и инициалы автора	Название работы	Год составле- ния или издания		
17	Казанцев К. А.	Геолого-промышленный отчет Мало-Хинганской геологоразведочной партии о работе в 1955—1956 гг.	1957	Фонды ДВГУ № 04951	Наварнов Ю. А.	Геологическое строение юго-западной части листа М-52-ХХIX (Отчет о работах Пашковской поисково-съемочной партии за 1958 г.)	1959	Фонды ДВГУ № 08122	
18	Кириллов А. А., Хакина Т. А.	Отчет Сутарской поисковой партии № 407 о результатах работ 1952 г.	1953	Фонды ДВГУ № 04205	Библиотека ДВГУ				
19	Констан- тов С. В.	Ботучанское месторождение сурьминского блеска и плавикового шата. («Горный журнал» за 1915 г., № 2)	1915						
20	Краснин- ская Е. Е., Дворкина Б. Д., Лозинская Г. Н.	Геологическое строение северо-восточной части листа М-52-ХХIX (отчет о работах Пашковской поисково-съемочной партии № 20 за 1956 г.)	1957	Фонды ДВГУ № 01246	Палагин А. В., Никитин Ю. И., Паталко Г. С.	Отчет о результатах поисково-съемочных работ на территории листов М-52-118-Б-1, 119-А, а, б, в на масштабе 1 : 50 000	1960	Фонды ДВГУ № 08419	
21	Кулем Б. П.	Об одной погребенной под базальтом золотоносной россыпи на западном склоне Малого Хингана	1947	Фонды ДВГУ № 02131	Превезен- цев И. А., Зай- цева А. Е.	Баланс запасов полезных ископаемых СССР на 1 января 1964 г. Уголь, том VI, вып. 62	1963	Фонды ДВГУ № 09757	
22	Лукашев Л. М., Лукашев Л. И.	Отчет о поисковых и разведочных работах на вулканические стекла, проведенных Обсюданской партией в 1959—1961 гг.	1962	Фонды ДВГУ № 055387	Рентгертен В. П.	Ботучан — месторождение флюорита и стекла. Материалы по общей и прикладной геологии, вып. 21	1964	Фонды ДВГУ № 10599	
23	Маруга А. А.	Отчет о геолого-поисковых работах на балластные материалы на участках Талдан-Тыгда (Сковородино—Талдан) и Есауловка-Облучье — Бурея (Улегуй-Облучье) Амурской ж. д.	1959	Фонды ДВГУ № 07764	Рюшковский Н. М.	Отчет о детальной разведке Архаро-Ботучанского месторождения	1924	Библиотека ДВГУ	
24	Молчанов В. М., Богатырев С. В.	Отчет о работе Амурской поисковой партии в 1940 г.	1940	Фонды ДВГУ № 01530	Рюхко В. Г.	Геологическое заключение о строении и угленосности района ст. Кундура Амурской ж. д.	1939	Фонды ДВГУ № 04899	
					32	Саканцев М. Н.	Отчет о результатах геологоразведочных работ на Архаро-Ботучанском буровогольном месторождении за период с 1913 по 1933 г.	1955	Фонды ДВГУ № 04899

*Продолжение прилож. I*

**СПИСОК ПРОМЫШЛЕННЫХ МЕСТОРОЖДЕНИЙ ПОЛЕЗНЫХ ИСКОПАЕМЫХ, ПОКАЗАННЫХ НА ЛИСТЕ М-52-ХХИХ КАРТЫ ПОЛЕЗНЫХ ИСКОПАЕМЫХ**

№ п/п	Фамилия и нимеалы автора	Название работы	Год составле- ния или издания	Местохождение материала, его фоновый № или место издания		
				№ по карте	Индекс кляшки на карте	Наименование месторождения и вид полезного ископаемого
33	Седельнико- ва Е. Г.	Отчет о геолого-поис- ковых работах на олово- в бассейне рек Биря и Урила, проводленных в 1954 г. (Ивановская пар- тия № 600)	1955	Фонды ДВГУ № 04631		
34	Синицкий В. Ф., Богоявлен- ский И. Р., Севастьянов А. С., Дар- да Г. Г.	Отчет о результатах поисково-съемочных ра- бот масштаба 1 : 50 000 на территории листов М-52-06-Г-г, 118-А-Г, Б-а, б, в (Соловийская партия)	1964	Фонды ДВГУ № 010558		
35	Суслов А. М., Полещук А. Т.	Отчет о результатах работ партии по профор- ке заявок за 1960 г.	1961	Фонды ДВГУ № 08774		
36	Тарлаков А. И., Полетаев В. В.	Отчет о поисковых ра- ботах Урильской поиско- вой партии в бассейнах рек Грязной и Эракиты	1955	Фонды ДВГУ № 05460	5 1-3	Р. Мал. Биря и Грязный и Южный кл.
37	Титов М. И., Эпштейн Р. Ю.	Богучанское месторож- дение флюорита (отчет о результатах детальной разведки на Богучанском месторождении флюори- та)	1942	Фонды ДВГУ № 02441	6 1-3	Р. Мал. Урил Кл. Игоревский
38	Шапоши- ков Е. Я.	Неметаллические иско- паемые и строительные материалы Хабаровского края и Амурской области	1961	Фонды ДВГУ № 9023	7 1-3	Кл. Маринский Кл. Нагаевка Кл. Пасхальный Кл. Широкий
39	Шокор Ф. А., Бачинина Э. А.	Отчет о летальных гео- логоразведочных работах, проведенных на Есаулов- ском месторождении су- глиников в Амурской об- ласти	1953	Фонды ДВГУ № 0445		
40	Цветов М. К.	Геологическое строе- ние, угледносность и под- счет запасов бурого уг- ля на площади деталь- ных разведок в районе горы Удачной	1943	Фонды ДВГУ № 07015	17 1-1	Кварцевые порфирь Кундуурское Базальты Перлиты и вулка- нические туфы
41	Эпштейн Р. Ю.	Геологическое строение бассейна р. Грязной (се- веро-западные отроги Малого Хингана)	1940	Фонды ДВГУ № 03441	36 IV-4 30 III-4	Не эксплуати- руется «Падь Федосенка» Ядринское Эксплуат- ируется с 1954 г.

*Продолжение прилож. 2*

*ПРИЛОЖЕНИЕ III*

**СПИСОК НЕПРОМЫШЛЕННЫХ МЕСТОРОЖДЕНИЙ ПОЛЕЗНЫХ ИСКОПАЕМЫХ, ПОКАЗАННЫХ НА ЛИСТЕ М-52-ХХIX КАРТЫ ПОЛЕЗНЫХ ИСКОПАЕМЫХ**

№ по карте	Индекс клетки на карте	Наименование месторождения и вид полезного ископаемого	Состоиние эксплуатации	Тип место- рождения (К — ко- рение, Р — рос- сыпь)	№ исполь- зованного материала по списку (прил. 1)						
				21	II-4	Глинистые породы	К	38, 39			
<i>Обломочные породы</i>											
27	III-4	Есауловское	Не эксплуати- руется	K	22, 38	Бурый уголь	2	I-1	Архаро-Богучанское	Не эксплуати- руется	7, 8, 12, 19, 28, 30, 32, 40
				K	22, 38						
18	II-4	Кундуровское	Эксплуатиро- валось в 1933— 1942 гг.	K	22	Богучанское месторож- дение	II-2	Флюорит	Не эксплуати- руется	6, 19, 29, 37, 41	
				K	22						

ПРИЛОЖЕНИЕ IV

Продолжение притча. ¶

**СПИСОК ПРОЯВЛЕНИЙ ПОЛЕЗНЫХ ИСКОПАЕМЫХ, ПОКАЗАННЫХ НА ЛИСТЕ М-52-ХХИ КАРТЫ ПОЛЕЗНЫХ ИСКОПАЕМЫХ**

№ по карте	Индекс категорий по карте	Наименование (местонахождение) появления и вида полезного ископаемого	Характеристика проявления	№ исполь- зованного материала по списку (прил. 1)	
				№ по карте	Индекс категорий по карте
16	II-3	Кундурукское	Четыре пласти угля	20, 31	12
20	II-4	Удурууканское	Одни пласт угли	34	i-3
			<i>Цветные металлы</i>		
29	III-4	Правобережье р. Хинган	Спектрометаллометрический ореол	34	31
32	III-4	Верховья к.л. Каильского и Карьерного	То же	24	III-4
34	IV-3	Паль Соболиная	То же	24	III-3
			<i>Благородные металлы</i>		
37	IV-4	Золото Галь Фелосенка	Знаки золота в штуфных пробах гидротермальных измененных липритов	17	23
35	IV-4	Паль Широкая	То же	17	III-3
			<i>Редкие металлы</i>		
3	I-3 и I-4	Олово Урла	Сурьма	11, 33, 35	22
33	II-4	Бассейны рек Биря и Урла	Шлиховой ореол	27	III-2
13	II-2	Бассейн р. Грязной	То же	1, 36	28
19	II-4	Бассейн р. Удуруукан	То же	20	III-4
15	II-3	Бассейн р. Олочи	То же	1, 36	
			<i>Оптическое сырье</i>		
			<i>Флюорит</i>		
			Устье пади Бревенчанской ганы	26	III-3
			Спектрометаллографический ореол	34	

Содержание

Введение . . . . .	3
Стратиграфия . . . . .	5
Интузивные образования . . . . .	26
Тектоника . . . . .	29
Геоморфология . . . . .	34
Полезные ископаемые . . . . .	36
Подземные воды . . . . .	47
Литература . . . . .	49
Приложения . . . . .	52

Подписано к печати 21/1 1976 г.

Формат 60×90<sup>1</sup>/<sub>16</sub>. Печ. л. 4,0.

Тираж 100 экз.

Уч.-изд. л. 6,98.

Заказ № 05520а.

Ленинградская картографическая фабрика обединения «Аэрогеология».